



ФЕДЕРАЛЬНАЯ СЛУЖБА
ПО ЭКОЛОГИЧЕСКОМУ, ТЕХНОЛОГИЧЕСКОМУ И АТОМНОМУ НАДЗОРУ
(РОСТЕХНАДЗОР)

ПРИКАЗ

10 февраля 2023 г.

№ 51

Москва

Об утверждении Руководства по безопасности «Методика анализа риска аварий на опасных производственных объектах морского нефтегазового комплекса»

В соответствии с пунктом 5 статьи 3 Федерального закона от 21 июля 1997 г. № 116-ФЗ «О промышленной безопасности опасных производственных объектов», пунктом 1 Положения о Федеральной службе по экологическому, технологическому и атомному надзору, утвержденного постановлением Правительства Российской Федерации от 30 июля 2004 г. № 401, приказываю:

1. Утвердить прилагаемое Руководство по безопасности «Методика анализа риска аварий на опасных производственных объектах морского нефтегазового комплекса».
2. Признать утратившим силу приказ Федеральной службы по экологическому, технологическому и атомному надзору от 16 сентября 2015 г. № 364 «Об утверждении Руководства по безопасности «Методика анализа риска аварий на опасных производственных объектах морского нефтегазового комплекса».

Руководитель

А.В. Трембицкий

УТВЕРЖДЕНО
приказом Федеральной службы по
экологическому, технологическому
и атомному надзору
от «10 » февраля 2023 г. № 51

**РУКОВОДСТВО ПО БЕЗОПАСНОСТИ
«МЕТОДИКА АНАЛИЗА РИСКА АВАРИЙ
НА ОПАСНЫХ ПРОИЗВОДСТВЕННЫХ ОБЪЕКТАХ
МОРСКОГО НЕФТЕГАЗОВОГО КОМПЛЕКСА»**

I. ОБЩИЕ ПОЛОЖЕНИЯ

1. Руководство по безопасности «Методика анализа риска аварий на опасных производственных объектах морского нефтегазового комплекса» (далее – Руководство) разработано в целях содействия соблюдению требований:

Федеральных норм и правил в области промышленной безопасности «Правила безопасности в нефтяной и газовой промышленности», утвержденных приказом Ростехнадзора от 15 декабря 2020 г. № 534, зарегистрированным Министерством юстиции Российской Федерации 29 декабря 2020 г., регистрационный № 61888;

Федеральных норм и правил в области промышленной безопасности «Общие правила взрывобезопасности для взрывопожароопасных химических, нефтехимических и нефтеперерабатывающих производств», утвержденных приказом Ростехнадзора от 15 декабря 2020 г. № 533, зарегистрированным Министерством юстиции Российской Федерации 25 декабря 2020 г., регистрационный № 61808;

Федеральных норм и правил в области промышленной безопасности «Общие требования к обоснованию безопасности опасного производственного объекта», утвержденных приказом Ростехнадзора от 15 июля 2013 г. № 306, зарегистрированным Министерством юстиции Российской Федерации 20 августа 2013 г., регистрационный № 29581.

2. В Руководстве используются сокращения, а также термины

и определения, приведенные в приложениях № 1 и 2.

3. Руководство распространяется на опасные производственные объекты морского нефтегазового комплекса (далее – ОПО МНГК): фонд скважин, участки ведения буровых работ, площадочные объекты (стационарные платформы, МЭ, БС, ГПБУ, СПБУ, ПТК, подводные добывающие комплексы), стационарные нефтеналивные и перегрузочные комплексы и линейные объекты (технологические трубопроводы, трубопроводы внешнего транспорта нефти, газа или газового конденсата), расположенные во внутренних морских водах, территориальном море и прилежащей зоне, на континентальном шельфе и морях Российской Федерации.

4. Настоящее Руководство содержит рекомендации к количественной оценке риска аварий для обеспечения требований промышленной безопасности при проектировании, строительстве, эксплуатации, консервации, ликвидации ОПО МНГК и не является нормативным правовым актом.

II. ОБЩИЕ РЕКОМЕНДАЦИИ ПО ОЦЕНКЕ РИСКА АВАРИЙ НА ОПАСНЫХ ПРОИЗВОДСТВЕННЫХ ОБЪЕКТАХ МОРСКОГО НЕФТЕГАЗОВОГО КОМПЛЕКСА

5. Основные методические принципы и общие рекомендации к процедуре анализа опасностей и оценки риска аварий изложены в Руководстве по безопасности «Методические основы анализа опасностей и оценки риска аварий на опасных производственных объектах», утвержденном приказом Ростехнадзора от 3 ноября 2022 г. № 387 (далее – «Методические основы анализа опасностей и оценки риска аварий на опасных производственных объектах»).

6. Общая процедура анализа опасностей и оценки риска аварий на ОПО МНГК включает этапы:

- планирования и организации работ,
- идентификации опасностей,

оценки риска,
определения степени опасности объектов и (или) их участков,
разработки рекомендаций по уменьшению риска.

7. Исходные данные, сделанные допущения и предположения, результаты оценки риска аварий должны быть обоснованы и документально зафиксированы в объеме, достаточном для того, чтобы выполненные расчеты и выводы могли быть проверены в ходе независимого аудита (например, страховой компанией в рамках выполнения Федерального закона от 27 июля 2010 г. № 225-ФЗ «Об обязательном страховании гражданской ответственности владельца опасного объекта за причинение вреда в результате аварии на опасном объекте») или экспертизы.

8. Форма представления и содержание отчетов по оценке риска аварий определяются согласно действующим документам по оформлению в области, соответствующей области их применения. Общие требования к оформлению результатов оценки риска приведены в «Методических основах анализа опасностей и оценки риска аварий на опасных производственных объектах».

III. ПЛАНИРОВАНИЕ И ОРГАНИЗАЦИЯ РАБОТ

9. На этапе «Планирование и организация работ» конкретизируются цели проведения оценки риска аварий на ОПО МНГК, определяются полнота, детальность и ограничения планируемой процедуры по оценке риска аварий, выбираются показатели риска и устанавливаются критерии допустимого (приемлемого) риска.

10. Основными рекомендациями к выбору показателей и определению критериев допустимого и приемлемого риска аварий являются их обоснованность и определенность. Показатели и критерии допустимого риска определяются исходя из совокупности условий, включающих требования промышленной безопасности и уровень имеющейся опасности аварий, характеризуемый фоновыми показателями риска аварий.

11. Для оценки риска используются показатели, характеризующие возможное число пострадавших и погибших при авариях, ущерб от возможных аварий, а также показатели риска гибели людей и риска причинения материального и экологического ущерба в интегральных и удельных (на единицу длины линейного протяженного объекта и др.) показателях. Полный перечень показателей опасности аварий приведен в «Методических основах анализа опасностей и оценки риска аварий на опасных производственных объектах». Перечень рассчитываемых показателей риска аварий определяется задачами оценки риска на ОПО МНГК.

IV. ИДЕНТИФИКАЦИЯ ОПАСНОСТЕЙ АВАРИЙ

12. Основная задача идентификации опасностей аварий – выявление и четкое описание всех источников опасностей аварий (для участков и составных частей анализируемого объекта, на которых обращаются опасные вещества) и сценариев их реализаций.

13. На этапе «Идентификация опасностей аварий» рекомендуется:

а) провести сбор и оценку достоверности исходной информации, необходимой для оценки риска на ОПО МНГК. Типовой перечень исходной информации, применяемой для оценки риска аварий, приведен в приложении № 3 к Руководству;

б) произвести деление анализируемого объекта, на котором обращаются опасные вещества, на участки и составные части;

в) провести анализ условий возникновения и развития аварий, определить группы характерных сценариев аварий.

14. На морских линейных объектах в качестве участков (составных частей) рекомендуется рассматривать зоны трубопроводов, указанные в приложении № 4 к Руководству.

15. При анализе причин возникновения аварийных ситуаций на ОПО

МНГК рекомендуется рассматривать следующие группы, связанные:

- а) с отказами (неполадками) оборудования, отказами технических устройств, связанными с типовыми процессами, физическим износом, коррозией, выходом технологических параметров на предельно допустимые значения, прекращением подачи энергоресурсов, нарушением работы систем и (или) средств управления и контроля;
- б) с ошибочными действиями персонала, связанными с отступлением от установленных параметров технологического регламента ведения производственного процесса, нарушением режима эксплуатации производственных установок и оборудования, недостаточным контролем (или отсутствием контроля) за параметрами технологического процесса;
- в) с внешними воздействиями природного и техногенного характера, связанными с землетрясениями, паводками и разливами, несанкционированным вмешательством в технологический процесс, диверсиями или террористическими актами, авариями или другими техногенными происшествиями на соседних объектах.

16. К основным причинам, связанным с отказами (неполадками) оборудования, можно отнести:

- а) физический износ, коррозию, эрозию, температурную деформацию технологического оборудования и трубопроводов;
- б) прекращение подачи энергоресурсов (например, электроэнергии, воды, воздуха).

17. Физический износ, коррозия, эрозия, температурная деформация технологического оборудования и трубопроводов могут стать причиной частичной или полной разгерметизации. Исходя из анализа аварийности можно сделать вывод, что при достаточной прочности конструкции оборудования или трубопроводов эти разрушения чаще всего имеют локальный характер и не приводят к серьезным последствиям. Однако при несвоевременной локализации и ликвидации последствий локального

разрушения они могут привести к цепному развитию аварийной ситуации с выбросом большого количества опасного вещества.

18. Прекращение подачи энергоресурсов может привести к остановке насосного оборудования, отказу контрольно-измерительных приборов и средств автоматизации, систем связи, нарушению технологических процессов, выходу параметров за критические значения и созданию аварийной ситуации.

Также учитывается наличие и время срабатывания резервного энергообеспечения (АДГ, ИБП), используемого в случае прекращения подачи энергоресурсов.

19. При отсутствии достаточного контроля со стороны обслуживающего персонала за регламентными значениями параметров процессов, неадекватном восприятии информации и несвоевременности принятия мер по локализации и ликвидации аварийных ситуаций возможен выход параметров за критические значения, разгерметизация оборудования (от частичной до полной) и выброс опасного вещества.

Особую опасность представляют ошибки при пуске и остановке оборудования (особенно при испытании скважин, трубопроводов), ведении ремонтных, профилактических и других работ, связанных с неустойчивыми технологическими режимами (возможные ГНВП, гидроудар), освобождением и заполнением оборудования опасным веществом (заполнение систем ДТ, УВОБР/БР, химическими реагентами).

Возможны ситуации с нарушением производственным персоналом правил техники безопасности.

20. Исходя из реальной обстановки или вследствие непреодолимых причин возможно возникновение аварийных ситуаций от следующих внешних воздействий:

а) грозовые разряды или разряды статического электричества. Возможен отказ системы автоматического управления и разгерметизация оборудования

(вплоть до полного разрушения), выброс опасного вещества и возникновение аварийной ситуации, сопровождаемой взрывами и (или) пожарами; кроме этого грозовые разряды и разряды статического электричества могут являться источниками воспламенения;

б) смерч, ураган, шторм, землетрясение, размыв или проседание грунта, срыв с якорей, в том числе запредельные волновые нагрузки. В зависимости от силы проявления данных природных воздействий возможны разрушения различной степени, в том числе в результате столкновения с судами снабжения, технологическими судами, танкерами, что может привести к разрушению (нарушению устойчивости), разгерметизации оборудования или трубопроводов, в том числе скважин, и выбросу опасного вещества;

в) снежные заносы, выход значений температуры и ледовой нагрузки за принятые проектные значения. Возможны нарушение режимов работы технологического оборудования, обледенение и последующее обрушение модулей, конструкций БВ и сооружений с последующей разгерметизацией оборудования и выбросом опасного вещества;

г) падение вертолетов. Возможно повреждение вертолетной площадки и конструкций, в том числе ЖМ;

д) специально спланированная диверсия. Возможно возникновение крупной аварии с разрушением всего имеющегося оборудования.

21. Все основные возможные факторы, способствующие возникновению аварий, можно условно разделить на следующие взаимосвязанные группы, характеризующиеся:

- а) свойствами обращающихся веществ;
- б) используемым оборудованием и протекающими в нем технологическими процессами;
- в) внешними факторами.

22. Рассматриваются все легковоспламеняющиеся, горючие и токсичные вещества, обращающиеся на ОПО МНГК. Также учитывается, что при

длительном хранении возможно образование пирофорных соединений, которые имеют склонность к самовозгоранию. Это может привести к возникновению аварийных ситуаций при выполнении ремонтных и профилактических работ внутри емкостей. Кроме того, при прохождении продуктивных пластов в процессе бурения возможны ГНВП, что может привести к выбросу в окружающую среду продукции скважин (опасных веществ).

В случае выброса опасного вещества из оборудования (при его разгерметизации) пары опасного вещества способны создавать облака ТВС. При наличии источника зажигания они могут воспламеняться с последующим пожаром (взрывом).

23. Рассмотрению подлежат все представляющие опасность технологические процессы, в том числе гидродинамические или газодинамические процессы приема, хранения и транспортирования опасных веществ по трубопроводам, разделение смесей, процессы тепломассопередачи, экзотермические и эндотермические реакционные процессы (при их наличии).

Основными видами используемого оборудования являются:

- а) емкостное оборудование (например, емкости различного назначения, сепараторы);
- б) насосное оборудование (насосные агрегаты);
- в) трубопроводы различного диаметра и протяженности.

Емкостное оборудование является источником повышенной опасности из-за значительных объемов опасных веществ, которые могут находиться в нем, в том числе и при повышенных давлениях и температурах. Причинами разгерметизации емкостного оборудования могут быть:

- а) ошибки при проектировании и изготовлении;
- б) ошибки при проведении монтажных, ремонтных и пусконаладочных работ;

- в) коррозия;
- г) взрыв внутри оборудования из-за образования ТВС;
- д) нарушение режимов эксплуатации (отказ приборов контроля, переполнение).

Отдельные элементы конструкции насосов (например, торцевые уплотнения, подшипниковые узлы) обладают низким уровнем устойчивости и являются источником локальных утечек опасных веществ в помещения насосных. Разрушение торцевых уплотнений и подшипников сопровождается повышением температуры этих элементов и/или искрообразованием. Это может привести к воспламенению выбросов опасного вещества с последующим пожаром (взрывом) в помещениях насосных, что, в свою очередь, может являться источником цепного вовлечения в аварию оборудования с большими количествами опасного вещества.

Трубопроводные системы являются источником повышенной опасности из-за наличия сварных, фланцевых и иных соединений, запорной и регулирующей арматуры, жестких условий работы и значительных объемов опасных веществ, транспортируемых по ним. Причинами разгерметизации трубопроводов могут быть:

- а) остаточные напряжения в материале трубопроводов в сочетании с напряжениями, возникающими при монтаже и ремонте, что может привести к разгерметизации отдельных элементов трубопроводной системы (образование трещин, разрывы трубопровода и его элементов, арматуры);
- б) воздействие температурных деформаций;
- в) гидравлические удары;
- г) повышение давления выше критических параметров;
- д) коррозия, эрозия.

24. К основным внешним факторам, способствующим возникновению аварий, можно отнести интенсивное судоходство в море, возможность проявления условий тумана и штормовых волнений, что может привести

к столкновению с судами или нарушению устойчивости ОПО МНГК.

25. К основным возможным факторам, способствующим развитию аварий, можно отнести:

- а) время обнаружения аварийного выброса и локализация аварии (оперативность и подготовленность персонала к действиям в аварийной ситуации) определяют количество опасного вещества, участвующего в создании поражающих факторов, время и характер воздействия поражающих факторов на соседнее оборудование;
- б) свойства обращаемых веществ определяют сценарий развития аварии (например, взрыв, пожар, рассеивание без воспламенения, токическое поражение, загрязнение ОС);
- в) количество обращаемого опасного вещества в единице оборудования и скорость его перемещения по трубопроводам определяют количество опасного вещества, участвующего в аварии и создании поражающих факторов;
- г) место и характер разрушения оборудования определяют количество опасного вещества, участвующего в аварии и создании поражающих факторов;
- д) метеоусловия определяют возможность рассеивания облаков опасных веществ, реализацию определенных сценариев аварии (например, взрыв, пожар, рассеивание без воспламенения).

26. Рекомендации по выделению типовых сценариев аварий, на примере морских платформ и ПБУ, представлены в приложении № 5 к Руководству.

V. КОЛИЧЕСТВЕННАЯ ОЦЕНКА РИСКА АВАРИЙ

27. Количественная оценка риска аварий включает оценку частоты возможных сценариев аварий, оценку возможных последствий по рассматриваемым сценариям аварий, расчет показателей риска аварий.

28. Рекомендуемые частоты аварийной разгерметизации типового оборудования на ОПО МНГК приведены в приложении № 6 к Руководству.

29. Для оценки частот разгерметизации сложных технических устройств также рекомендуется использовать метод анализа «деревьев отказов», изложенный в «Методических основах анализа опасностей и оценки риска аварий на опасных производственных объектах».

30. Для определения условной вероятности сценария развития аварии рекомендуется использовать метод построения «деревьев событий» в соответствии с «Методическими основами анализа опасностей и оценки риска аварий на опасных производственных объектах».

31. При определении сценариев на последних этапах развития аварий рекомендуется учитывать сочетание последовательных сценариев (последующее развитие аварии в случае, если затронутое оборудование содержит опасные вещества) или «эффект домино». При учете «эффекта домино» оценивается поражающее действие осколков, которые могут образоваться при разрыве оборудования, содержащего газ.

32. Оценивать возможные последствия аварий рекомендуется по результатам определения вероятных зон действия поражающих факторов и причиненного ущерба от аварии (в первую очередь количества погибших).

33. Зоны действия поражающих факторов определяются на основе:

а) оценки количества опасного вещества, участвующего в создании поражающих факторов аварий;

б) расчета количественных параметров, характеризующих действие поражающих факторов (давление и импульс для ударных волн, интенсивность теплового излучения для пламени, размеры пламени и зоны распространения высокотемпературной среды при термическом воздействии, дальность дрейфа облака ТВС до источника зажигания, токсическое воздействие, поражающее действие осколков, загрязнение морской среды нефтью и нефтепродуктами);

в) сравнения рассчитанных количественных параметров с критериями поражения (разрушения).

34. Для определения количества опасного вещества, участвующего

в аварии, учитывается деление технологического оборудования и трубопроводов на изолируемые запорной арматурой секции (участки); интервал срабатывания отсекающих устройств; влияние волновых гидродинамических процессов на режим истечения опасного вещества для протяженных трубопроводных систем (длиной более 500 м).

35. Массу аварийного выброса опасных веществ рекомендуется определять с учетом перетоков от соседних аппаратов (участков) в течение времени обнаружения выброса и перекрытия запорной арматуры (задвижек) с учетом массы стока вещества из отсеченного блока (трубопровода). При отсутствии достоверных сведений время обнаружения выброса и перекрытия задвижек рекомендуется принимать равным 600 секундам в случае наличия средств противоаварийной защиты и системы обнаружения утечек, а также 1800 секундам в случае их отсутствия (Руководство по безопасности «Методика оценки риска аварий на опасных производственных объектах нефтегазоперерабатывающей, нефте- и газохимической промышленности», утвержденное приказом Ростехнадзора от 28 ноября 2022 г. № 414, далее – «Методика оценки риска аварий на опасных производственных объектах нефтегазоперерабатывающей, нефте- и газохимической промышленности»).

36. Рекомендуемый порядок расчета истечения взрывопожароопасных жидкостей из морских трубопроводов приведен в приложении № 7 к Руководству. Расчеты для технологических трубопроводов рекомендуется проводить в соответствии с «Методикой оценки риска аварий на опасных производственных объектах нефтегазоперерабатывающей, нефте- и газохимической промышленности».

37. При определении условной вероятности воспламенения аварийных выбросов взрывопожароопасных газов рекомендуется учитывать размещение источников зажигания по близлежащей территории. При отсутствии необходимых данных условную вероятность рекомендуется определять

в соответствии с «Методикой определения величин пожарного риска на производственных объектах», утвержденной приказом МЧС России, далее – «Методика определения величин пожарного риска на производственных объектах».

38. При отсутствии сведений о распределении источников воспламенения и о вероятности зажигания облака расчет зон поражения при взрыве облаков ТВС рекомендуется выполнять из условия воспламенения облака в момент времени, когда облако ТВС достигает наибольшей массы, способной к воспламенению.

39. Оценку возможных последствий аварий рекомендуется проводить на основе нормативных правовых актов, указанных в приложении № 11 к Руководству.

40. Для расчета размеров зон поражения людей и разрушения сооружений рекомендуется использовать критерии поражения, приведенные в «Методических основах анализа опасностей и оценки риска аварий на опасных производственных объектах».

41. Для оценки гибели людей при пожарах в помещениях, в том числе от отравления токсичными продуктами горения, с учетом их эвакуации рекомендуется использовать приложение № 5 к «Методике определения расчетных величин пожарного риска на производственных объектах».

42. При расчете интенсивности фонтанирования скважин рекомендуется использовать приложение № 10 к Руководству.

43. Число пострадавших от аварий определяется числом людей, оказавшихся в превалирующей зоне действия поражающих факторов, исходя из принципа «поглощения большей опасностью всех меньших опасностей». Расчет ожидаемого числа пострадавших приведен в «Методических основах анализа опасностей и оценки риска аварий на опасных производственных объектах».

44. Величина ожидаемого ущерба при аварии и расчет плат за загрязнение

окружающей среды определяются и в дальнейшем производятся в соответствии с действующими нормативными правовыми актами.

45. Опасность аварийного загрязнения окружающей среды, в том числе распространение загрязняющих веществ в водном пространстве, учитывается согласно приложению № 8 к Руководству.

46. При оценке опасности каскадного развития аварии («эффект домино») учитываются критерии устойчивости оборудования, сооружений, приведенные в «Методических основах анализа опасностей и оценки риска аварий на опасных производственных объектах».

47. Расчет количественных показателей риска аварий осуществляется по алгоритмам, изложенным в «Методике оценки риска аварий на опасных производственных объектах нефтегазоперерабатывающей, нефте- и газохимической промышленности», «Методических основах анализа опасностей и оценки риска аварий на опасных производственных объектах».

VI. ОПРЕДЕЛЕНИЕ СТЕПЕНИ ОПАСНОСТИ ОПО МНГК, ИХ УЧАСТКОВ И СОСТАВНЫХ ЧАСТЕЙ

48. При необходимости установления степени опасности аварий на ОПО МНГК, определения их наиболее опасных участков и составных частей проводятся сопоставительные сравнения рассчитанных значений показателей риска аварий:

- а) со значениями риска аварий на других участках и составных частях ОПО МНГК;
- б) с фоновым риском аварий (среднеотраслевым риском аварий для аналогичных объектов или с фоновым риском гибели людей в техногенных происшествиях);
- в) с допустимым уровнем риска аварий, установленным в нормативных актах, или с требующимся уровнем риска аварий, обоснованным на этапе планирования и организации работ;
- г) значениями риска аварий до и после возможных и фактических

отступлений от требований промышленной безопасности, а также до и после возможного и фактического внедрения компенсирующих мероприятий.

Необходимость и полнота сравнительных оценок определяются задачами анализа риска.

49. Рекомендации по установлению степени опасности аварий на ОПО МНГК, ранжированию составных элементов ОПО МНГК по степени опасности и определению наиболее опасных составных элементов ОПО МНГК, сравнению рассчитанных значений риска аварий с соответствующим допустимым или фоновым уровнем, а также использованию результатов анализа риска для обоснования безопасности ОПО МНГК представлены в «Методических основах анализа опасностей и оценки риска аварий на опасных производственных объектах».

50. При определении степени опасности ОПО МНГК приоритетными являются относительные сопоставления характерных опасностей по показателям риска аварий, а не оценка соответствия рассчитанных значений риска аварий требуемым абсолютным уровням риска аварий.

51. Определение степени опасности ОПО МНГК, их наиболее опасных участков и составных частей необходимо для разработки обоснованных адресных рекомендаций по снижению риска аварий на ОПО МНГК.

VII. РЕКОМЕНДАЦИИ ПО СНИЖЕНИЮ РИСКА АВАРИЙ НА ОПО МНГК

52. Разработка рекомендаций по снижению риска аварий является заключительным этапом процедуры анализа риска аварий. Рекомендации основываются на результатах идентификации опасностей аварий, количественной и качественной оценках риска и определении степени опасности ОПО МНГК.

53. Рассчитанные показатели риска аварий на участках ОПО МНГК используются для обоснования приоритетов в мероприятиях по оптимальному обеспечению безопасного функционирования ОПО МНГК в условиях

опасности возможного возникновения промышленных аварий (риск-ориентированный подход).

54. Необходимость разработки рекомендаций по снижению риска аварий определяется ранжированием участков/составных частей ОПО МНГК по степени опасности и обусловлена имеющимися ресурсами на внедрение дополнительных мероприятий (мер, групп мер) обеспечения безопасности технического и (или) организационного характера.

55. Рекомендации по снижению риска аварий разрабатываются в форме проектных решений или планируемых мероприятий (мер, групп мер) обеспечения безопасности технического и (или) организационного характера.

56. Для оценки эффективности возможных мероприятий (мер, групп мер) обеспечения безопасности решают следующие альтернативные оптимизационные задачи:

а) при заданных ресурсах выбирают оптимальные мероприятия (меры, группы мер) безопасности, обеспечивающие максимальное снижение риска аварий на ОПО МНГК;

б) минимизируя затраты, выбирают оптимальные мероприятия (меры, группы мер) безопасности, обеспечивающие снижение риска аварий до значений, исключающих долгосрочную эксплуатацию чрезвычайно опасных участков ОПО МНГК.

57. В рамках риск-ориентированного подхода можно выделить две группы мер обеспечения безопасности: организационно-технические мероприятия, направленные на уменьшение вероятности аварий, и меры, направленные на смягчение тяжести последствий аварий.

58. Меры по уменьшению вероятности возникновения аварий включают:

а) меры по уменьшению вероятности возникновения инцидентов (разгерметизации оборудования);

б) меры по уменьшению вероятности перерастания инцидента в аварийную ситуацию (появление поражающих факторов).

59. Меры по уменьшению тяжести последствий аварий имеют следующие приоритеты:

- а) меры, предусматриваемые при проектировании опасного объекта (например, выбор несущих конструкций, запорной арматуры);
- б) меры, относящиеся к системам противоаварийной защиты и контроля (например, применение газоанализаторов);
- в) меры, касающиеся готовности эксплуатирующей организации к локализации и ликвидации последствий аварий.

60. Среди решений, направленных на предупреждение аварийных выбросов опасных веществ (уменьшение вероятности аварий) на ОПО МНГК, выделяют:

- а) применение материалов повышенной прочности, повышение толщин стенок сосудов и трубопроводов;
- б) использование защитных кожухов для трубопроводов, обетонированных труб;
- в) увеличение частоты диагностики, испытаний на прочность и герметичность;
- г) повышение чувствительности и надежности систем контроля технологических процессов и блокировок.

61. Среди решений, направленных на уменьшение тяжести последствий аварий, выделяют:

- а) установление безопасных расстояний до мест скопления персонала и/или сокращение времени пребывания персонала в опасной зоне;
 - б) ограничение площадей возможных аварийных разливов;
 - в) планировочные решения, исключающие эскалацию аварий;
 - г) повышение взрывозащищенности сооружений на ОПО МНГК;
 - д) установку датчиков загазованности;
 - е) информирование персонала об опасностях аварий.
-

Приложение № 1
 к Руководству по безопасности «Методика
 анализа риска аварий на опасных
 производственных объектах морского
 нефтегазового комплекса», утвержденному
 приказом Федеральной службы
 по экологическому, технологическому
 и атомному надзору
 от «10 февраля 2023 г. № 57

СПИСОК СОКРАЩЕНИЙ

В настоящем Руководстве применены следующие обозначения и сокращения:

АДГ	– аварийный дизель-генератор;
АСУТП	– автоматизированная система управления технологическими процессами;
БВ	– буровая вышка;
БР	– буровой раствор;
БУ	– буровая установка;
БС	– буровое судно;
ГНВП	– газонефтеводопроявления;
ДТ	– дизельное топливо;
ЖМ	– жилой модуль;
ИБП	– источник бесперебойного питания;
КИПиА	– контрольно-измерительные приборы и аппаратура;
МВКП	– максимально возможное количество потерпевших;
МЭ	– морская эстакада с приэстакадными нефтегазодобывающей и буровой площадками, искусственный остров;
НП	– неразделенная продукция скважин;
ОПО	– опасный производственный объект;
ОПО МНГК	– опасные производственные объекты морского нефтегазового комплекса;
ОС	– окружающая среда;
ПАЗ	– противоаварийная автоматическая защита;
ПДК	– предельно допустимая концентрация;
ПБУ	– плавучая буровая установка;
ППБУ	– полупогруженая плавучая буровая установка;
ПТК	– плавучий технологический комплекс;
СПБУ	– самоподъемная плавучая буровая установка;
ТВС	– топливно-воздушная смесь;
УВОБР	– углеводородная основа бурового раствора.

Приложение № 2
 к Руководству по безопасности «Методика
 анализа риска аварий на опасных
 производственных объектах морского
 нефтегазового комплекса», утвержденному
 приказом Федеральной службы
 по экологическому, технологическому
 и атомному надзору
 от «10 » ~~декабря~~ 2008 г. № 37

ТЕРМИНЫ И ОПРЕДЕЛЕНИЯ

Основные термины и определения анализа риска установлены в «Методических основах анализа опасностей и оценки риска аварий на опасных производственных объектах».

В Руководстве применены следующие термины с соответствующими определениями:

авария – разрушение сооружений и (или) технических устройств, применяемых на ОПО, неконтролируемые взрыв и (или) выброс опасных веществ (статья 1 Федерального закона от 21 июля 1997 г. № 116-ФЗ «О промышленной безопасности опасных производственных объектов»);

анализ риска аварий (анализ опасностей, оценка риска аварий) – выявление нежелательных событий, влекущих за собой реализацию опасности, анализ механизма возникновения таких событий и масштаба их величины, способного оказать поражающее действие (пункт 3.2 ГОСТ Р 12.3.047-2012 «Национальный стандарт Российской Федерации. Система стандартов безопасности труда. Пожарная безопасность технологических процессов. Общие требования. Методы контроля»);

взрыв – процесс выделения энергии за короткий промежуток времени, связанный с мгновенным физико-химическим изменением состояния вещества, приводящим к возникновению скачка давления или ударной волны, сопровождающийся образованием сжатых газов или паров, способных производить работу (пункт 3.1.5. ГОСТ Р 22.0.08-96 «Безопасность в

чрезвычайных ситуациях. Техногенные чрезвычайные ситуации. Взрывы. Термины и определения»);

идентификация опасности – процесс осознания того, что опасность существует, и определения ее характерных черт (пункт 2.4 статьи 2 ГОСТ Р 51901.1-2002 «Менеджмент риска. Анализ риска технологических систем»). Идентификация опасностей аварий – выявление источников возникновения аварий и определение соответствующих им типовых сценариев аварии;

обоснование безопасности опасного производственного объекта – документ, содержащий сведения о результатах оценки риска аварий на ОПО и связанной с ней угрозы, условия безопасной эксплуатации ОПО, требования к эксплуатации, капитальному ремонту, консервации и ликвидации ОПО (абзац 6 статьи 1 Федерального закона от 21 июля 1997 г. № 116-ФЗ «О промышленной безопасности опасных производственных объектов»);

опасный производственный объект (ОПО) – предприятия или их цехи, участки, площадки, а также иные производственные объекты, указанные в приложении № 1 к Федеральному закону от 21 июля 1997 г. № 116-ФЗ «О промышленной безопасности опасных производственных объектов»;

оценка риска аварии – основанная на результатах анализа риска процедура проверки, устанавливающая, не превышен ли допустимый риск, а также часть анализа риска, состоящая в определении качественных и (или) количественных показателей риска (пункты 3.11, 3.12 ГОСТ Р 51898-2002 «Государственный стандарт Российской Федерации. Аспекты безопасности. Правила включения в стандарты»);

промышленная безопасность ОПО (промышленная безопасность, безопасность опасных производственных объектов) – состояние защищенности жизненно важных интересов личности и общества от аварий на ОПО и последствий указанных аварий (в редакции Федерального закона от 4 марта 2013 г. № 22-ФЗ «О внесении изменений в Федеральный закон «О промышленной безопасности опасных производственных объектов»);

ущерб от аварии – потери (убытки) в производственной и непроизводственной сферах жизнедеятельности человека, а также при негативном изменении окружающей среды, причиненные в результате аварии на ОПО и исчисляемые в натуральной или денежной форме (пункт 3.3 ГОСТ Р 51898-2002. «Государственный стандарт Российской Федерации. Аспекты безопасности. Правила включения в стандарты»).

Приложение № 3
 к Руководству по безопасности «Методика
 анализа риска аварий на опасных
 производственных объектах морского
 нефтегазового комплекса», утвержденному
 приказом Федеральной службы
 по экологическому, технологическому
 и атомному надзору
 от «10» ~~февраля~~ 2023 г. № 51

**ТИПОВОЙ ПЕРЕЧЕНЬ ИСХОДНОЙ ИНФОРМАЦИИ,
 ПРИМЕНЯЕМОЙ ДЛЯ ОЦЕНКИ РИСКА АВАРИЙ
 (на примере линейных объектов ОПО МНГК)**

Сбор исходной информации, необходимой для анализа риска, осуществляется с использованием имеющихся документов, в том числе предпроектных, проектных, эксплуатационных документов, материалов инженерных изысканий и других документов.

При выполнении оценки риска ОПО МНГК первоочередными источниками исходных данных являются результаты проведения оценки технического состояния ОПО на соответствие требованиям нормативных технических документов.

Ниже представлен типовой перечень основной исходной информации, необходимой для проведения работ по оценке риска аварий на ОПО МНГК, который может быть уточнен, расширен в соответствии с действующей проектной и эксплуатационной документацией:

- а) генеральный план, схемы размещения, профиль трассы (для морского трубопровода) ОПО МНГК (пример профиля морского трубопровода приведен на рисунке 1 настоящего приложения);

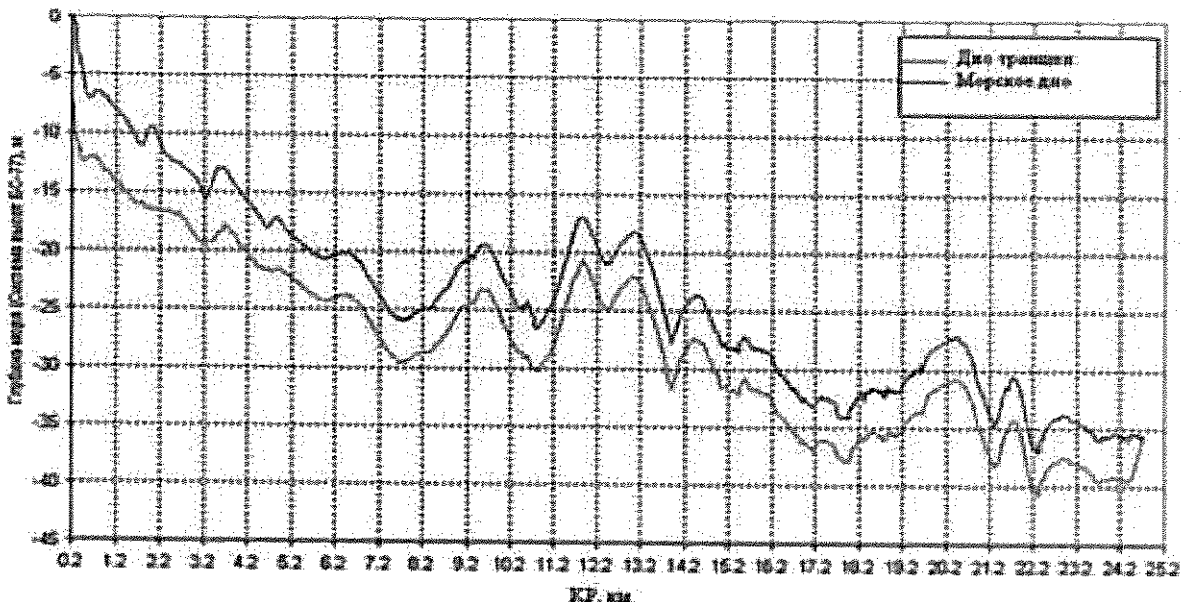


Рис. 1. Пример профиля морского трубопровода

- б) краткое описание технологического процесса;
- в) технологические схемы с указанием потоков, запорной арматуры и средств КИПиА;
- г) перечень технологического оборудования с указанием массы, физических свойств содержания опасных веществ (пример перечня технологического оборудования для морского трубопровода представлен в таблице № 1);

Таблица № 1

**Перечень основного технологического оборудования,
в котором обращаются опасные вещества**

№ п/п	Наименование оборудования, материал	Кол-во, шт.	Расположение	Назначение	Технические характеристики
1	Трубопровод неразделенной продукции, сталь	1	Платформа «XX» – место врезки в промысловый трубопровод, морская и береговая часть	Транспортирование неразделенной продукции скважин	Труба диаметром 508 мм (20"), толщина стенок 25 мм, протяженность 25 км. Предельно допустимое рабочее давление 15 МПа

- д) основные характеристики опасных веществ:

компонентный состав (при условиях хранения, транспортирования);
 физические свойства (молекулярный вес, плотность, температура кипения, вязкость, давление насыщенных паров);
 данные о взрывопожароопасности (пределы взрываемости, температура вспышки и самовоспламенения);
 данные о токсичности (ПДК в воздухе рабочей зоны и в атмосферном воздухе; летальная и пороговая токсодозы);
 е) сведения об общем количестве опасных веществ, находящихся в технических устройствах – аппаратах (емкостях), трубопроводах, с указанием максимального количества в единичной емкости или участке трубопровода наибольшей вместимости, общий грузооборот взрывопожароопасных веществ представляется в виде таблицы, аналогичной таблице № 2. Рекомендуется рассматривать смежное оборудование (резервуары, емкости) для учета возможности поступления взрывопожароопасных веществ из сопряженных блоков;

Таблица № 2

**Данные о распределении опасных веществ
по оборудованию и трубопроводам ОПО МНГК**

Технологический блок, оборудование			Количество опасного вещества, т		Физические условия содержания опасного вещества		
Номер, наименование блока	Наименование оборудования, номер по схеме, опасное вещество	Количество единиц оборудования, шт.	в единице оборудования	в блоке	агрегатное состояние	давление, МПа	температура, °С
Морская часть трубопровода	Трубопровод неразделенной продукции, № 1, опасное вещество, в том числе нефть, газ, вода						
Береговая часть трубопровода	Трубопровод неразделенной продукции, № 1,						

Технологический блок, оборудование			Количество опасного вещества, т		Физические условия содержания опасного вещества		
Номер, наименование блока	Наименование оборудования, номер по схеме, опасное вещество	Количество единиц оборудования, шт.	в единице оборудования	в блоке	агрегатное состояние	давление, МПа	температура, °С
	опасное вещество, в том числе нефть, газ, вода						

ж) сведения о средствах автоматизации и контроля технологических процессов на трубопроводах. Описание систем автоматического регулирования, блокировок, сигнализации и других средств противоаварийной защиты, а также систем обнаружения утечек, содержащее следующие сведения:

о чувствительности и времени срабатывания системы обнаружения аварийных утечек в зависимости от объема (или расхода) аварийной утечки;

о типе и времени перекрытия потока запорной арматурой;

о возможности поступления пожаровзрывоопасных газов из смежного оборудования (резервуары, емкости);

з) описание решений, направленных на обеспечение взрывопожаробезопасности, содержащее следующие сведения:

о размерах и вместимости поддонов и отбортовок технологических площадок;

о составе и расположении средств первичного пожаротушения, системы пожаротушения, системы обнаружения загазованности;

и) климатическую характеристику района расположения ОПО.

Для районов расположения линейных объектов представляются среднемесячные температуры воздуха, скорости ветра, уровни приливов/отливов, годовые повторяемости направлений ветра и повторяемости состояний устойчивости атмосферы (в классификации

по Паскуиллу – таблица № 3). Данные рекомендуется представлять в виде таблиц со ссылкой на источник информации (метеостанция) и период наблюдения.

Таблица № 3

Пример представления относительной частоты реализации классов устойчивости атмосферы для различных скоростей ветра в разрезе года

U, м/с	Класс А	Класс В	Класс С	Класс D	Класс Е	Класс F
0,5 - 1,5	0,21017	0,063842	0,05254	0,157625	0,159889	0,355934
1,5 - 3,0	0,08752	0,065225	0,087188	0,382363	0,260232	0,117471
3,0 - 4,5	0,020022	0,070084	0,209068	0,540639	0,080093	0,080093
4,5 - 6	0,004478	0,014562	0,234042	0,702134	0,022392	0,022392
6 - 7,5	0	0	0	1	0	0
7,5 - 9	0	0	0	1	0	0
9 - 10,5	0	0	0	1	0	0
> 10,5	0	0	0	1	0	0

Рекомендуется указать возможность проявления опасных природных явлений (землетрясения, тайфуны, цунами, штормы, обледенение, морские течения, наличие айсбергов и дрейфующих льдин);

к) данные о списочной численности, сменности персонала (численность в максимальную/дневную и минимальную/ночную смены) и его размещении по сооружениям ОПО МНГК (в соответствии с экспликацией);

л) перечень иных объектов эксплуатирующей организации, объектов сторонних предприятий, организаций, населенных пунктов, мест отдыха, транспортных (морских) путей, расположенных на расстоянии до 1000 м от объектов ОПО МНГК, с указанием их расположения и численности работающих, проживающих;

м) стоимость производственных фондов ОПО МНГК, стоимость прокладки 1 км трубопровода, себестоимость транспортируемого продукта;

н) перечень аварий и инцидентов, имевших место на данном ОПО МНГК.

Приложение № 4
 к Руководству по безопасности «Методика
 анализа риска аварий на опасных
 производственных объектах морского
 нефтегазового комплекса», утвержденному
 приказом Федеральной службы
 по экологическому, технологическому
 и атомному надзору
 от «10» февраля 2023 г. № 57

**РЕКОМЕНДУЕМЫЕ ЗОНЫ, СОСТАВНЫЕ ЧАСТИ В
 ЗАВИСИМОСТИ ОТ РАЗМЕЩЕНИЯ УЧАСТКОВ МОРСКИХ
 ТРУБОПРОВОДОВ**

При анализе аварийности рекомендуется выделять следующие зоны риска в зависимости от размещения участков морских трубопроводов (рисунок 1 настоящего приложения):

- а) зона размещения райзеров (вертикальных трубопроводов от платформы до дна моря);
- б) «зона безопасности» (принимаемая равной 500 м);
- в) средняя часть трубопроводов, прокладываемых, как правило, по дну моря;
- г) прибрежная зона;
- д) береговая зона (сухопутный участок выхода морского трубопровода на берег).

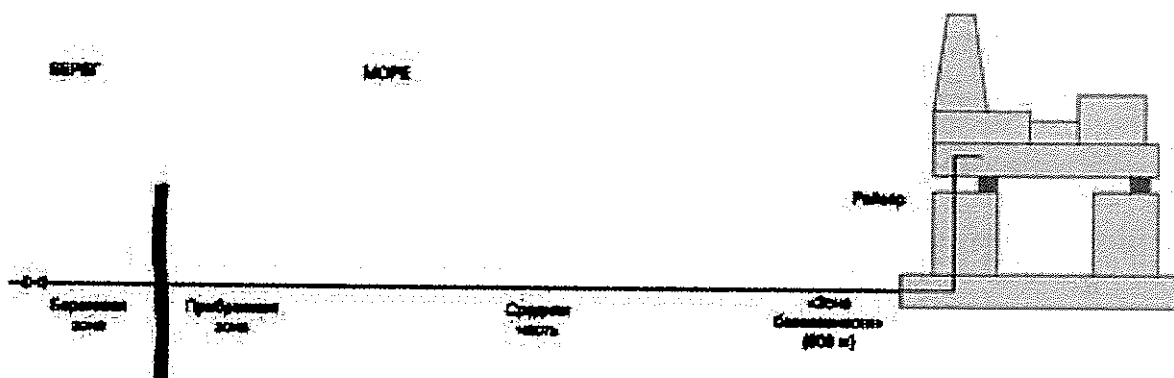


Рис. 1. Зоны риска в зависимости от размещения участков морских трубопроводов

Приложение № 5
 к Руководству по безопасности «Методика
 анализа риска аварий на опасных
 производственных объектах морского
 нефтегазового комплекса», утвержденному
 приказом Федеральной службы
 по экологическому, технологическому
 и атомному надзору
 от «10» февраля 2023 г. № 51

РЕКОМЕНДАЦИИ ПО ВЫДЕЛЕНИЮ ТИПОВЫХ СЦЕНАРИЕВ АВАРИЙ (на примере морских платформ и ПБУ)

Под сценарием аварии понимается последовательность отдельных логически связанных событий, обусловленных конкретным инициирующим событием, приводящим к аварии с конкретными опасными последствиями.

Для построения такой последовательности проводится полное и формализованное описание следующих событий:

- а) фазы инициирования аварии;
- б) инициирующего события аварии;
- в) аварийного процесса;
- г) последствий аварии, включая специфические количественные характеристики событий аварии, их пространственно-временные параметры и причинные связи.

Составляющие рассматриваемого объекта представляют собой различную степень опасности с точки зрения возможности развития аварийных ситуаций, так как оборудование и трубопроводы содержат разные опасные вещества – горючие жидкости и воспламеняющиеся газы, химические реагенты.

Анализ возможных аварийных ситуаций сводится к оценке объемов опасных веществ, которые могут участвовать в аварии, и определению последствий этих аварий.

Исходным событием аварии, инициирующим выброс опасных веществ

в ОС, является разгерметизация оборудования/трубопроводов. В зависимости от характера разгерметизации возможны два варианта выброса:

- а) при небольших размерах площади отверстия образуется относительно длительное (растянутое по времени) истечение;
- б) при существенном нарушении целостности аппарата или трубопровода в ОС за короткое время выбрасываются значительные объемы опасного вещества.

При внезапном разрушении оборудования и выбросе больших количеств газообразных опасных веществ (воспламеняющихся газов, паров горючих жидкостей) наличие источника зажигания в месте выброса, как правило, приводит к мгновенному воспламенению и возможному взрыву, часто с образованием огненного шара.

Если при выбросе в непосредственной близости нет источника зажигания, то газовая фаза выброса имеет возможность смешаться с воздухом с образованием облака ТВС, которое на открытом пространстве распространяется в ОС. Воспламенение в этом случае возможно на некотором удалении от места выброса при достижении источника зажигания. В реальных условиях зона возможного воспламенения ТВС ограничивается размерами ОПО МНГК или размерами помещения при выбросе в замкнутом пространстве.

Если в ходе аварии была выброшена жидккая фаза, то в месте пролива возможно возникновение пожара.

Наиболее вероятным является возникновение сравнительно небольших выбросов, так как полное разрушение оборудования или трубопроводов менее вероятно, чем образование локальных утечек. Однако незначительные утечки при отсутствии мер по их локализации и ликвидации могут привести к эскалации аварии и последующему разрушению оборудования, содержащего значительно больший объем опасных веществ. В этом случае последствия первоначального выброса аналогичны последствиям выброса большого

количества опасного вещества. Поэтому рассматриваются также сценарии аварий, в которых происходит разрушение оборудования с последующим максимальным выбросом опасных веществ.

На основе анализа причин и факторов аварий, учитывая особенности технологических процессов на ОПО МНГК, свойства и распределение опасных веществ по оборудованию, на объекте могут реализовываться следующие основные опасности:

- а) пожары и взрывы, обусловленные авариями с разгерметизацией системы подачи ДТ и выбросом (утечкой) ДТ;
- б) пожары и взрывы, сопровождающие неконтролируемый выброс нефти или газа (открытый фонтан; приложение № 10 к Руководству);
- в) пожары и взрывы, связанные с ГНВП из скважины при вскрытии продуктивного пласта и выделением газа в системе очистки БР;
- г) сильное повреждение (разрушение) конструктивных элементов, сооружений, оборудования системы подачи масла, системы подачи ДТ и испытания скважины в результате воздействия экстремальных природных явлений (например, шторм, ураган и т.д.) и столкновения с судами;
- д) пожары в производственных, административно-хозяйственных или жилых помещениях по причинам, не связанным с технологическими операциями;
- е) токсическое воздействие на персонал продуктов сгорания при возникновении пожара на палубе и (или) в производственных помещениях.

Особый случай представляют ситуации, когда происходит разрушение нескольких видов расположенного вблизи друг от друга оборудования (группы оборудования). Подобная ситуация возможна в результате сильного разрушения несущих конструкций и перегородок ОПО МНГК, например, при столкновении с судном, в штормовых условиях.

Последовательное разрушение группы оборудования («эффект

домино») также относится к категории редких событий, хотя и более вероятных, чем аварии с одновременным и полным разрушением группы оборудования.

На практике аварии, вызванные одним и тем же инициирующим событием, в дальнейшем могут иметь различное по своим последствиям развитие - пролив без воспламенения, пожар, взрыв и т.д. Такие отдельные сценарии развития аварии объединяются в группы сценариев аварии, обусловленные общим исходным событием.

Для оценки опасностей эксплуатации (на примере БУ) рассматриваются следующие группы сценариев развития возможных аварий.

Группа сценариев С₁: воздействие на конструкции комплекса штормовых (волновых, сейсмических) нагрузок, столкновение с судном → потеря устойчивости БУ, механическое повреждение конструкции, опор корпуса → полное разрушение или опрокидывание → экстренная эвакуация и возможная гибель части персонала.

Группа сценариев С₂: частичное разрушение или разгерметизация емкостей или насосов системы ДТ → истечение ДТ → растекание и испарение пролива → образование ТВС → воспламенение от источника зажигания → взрыв и (или) горение ТВС, воспламенение пролива (пожар) → выделение токсичных продуктов сгорания → барическое и (или) термическое воздействие на персонал и оборудование, на конструкции, интоксикация персонала продуктами сгорания → последующее развитие аварии в случае, если затронутое оборудование содержит опасные вещества.

Группа сценариев С₃: нарушение режимов бурения, повлекшее появление нефтегазового выброса на участке ведения буровых работ (разгерметизация оборудования и (или) трубопроводов в помещении оборудования для испытания и опробования скважины) → образование пролива нефти на БУ (возможно стекание нефти в море) или в помещении оборудования для испытания и опробования скважин → испарение пролива и

образование облака ТВС → воспламенение облака ТВС от источника зажигания → сгорание облака ТВС (пожар-вспышка) с последующим пожаром пролива и выделением токсичных продуктов горения → термическое воздействие на персонал и оборудование на конструкции, интоксикация персонала продуктами сгорания → последующее развитие аварии в случае, если затронутое соседнее оборудование содержит опасные вещества.

Группа сценариев С₄: вскрытие пласта и появление газа в БР при ведении буровых работ/разгерметизация оборудования и/или трубопроводов в помещении блока очистки/в помещении оборудования испытания и опробования скважины → выход газа в ОС и образование облака ТВС → воспламенение ТВС от источника зажигания → сгорание облака ТВС (пожар-вспышка и/или взрыв) → барическое и/или термическое воздействие на персонал и оборудование/конструкции → последующее развитие аварии в случае, если затронутое соседнее оборудование содержит опасные вещества.

Группа сценариев С₅: частичное разрушение или разгерметизация единичного оборудования, содержащего ДТ (расходная цистерна ДТ) → утечка и разлив ДТ в закрытом помещении → испарение ДТ и образование облака ТВС → воспламенение облака ТВС от источника зажигания → сгорание облака ТВС (взрыв) с последующим пожаром → выделение токсичных продуктов сгорания → барическое и/или термическое воздействие на персонал и оборудование/конструкции, интоксикация персонала продуктами сгорания → последующее развитие аварии в случае, если затронутое соседнее оборудование содержит опасные вещества.

Группа сценариев С₆: падение вертолета → гибель пассажиров и экипажа → образование пролива авиационного топлива → воспламенение пролива авиационного топлива и возникновение пожара → термическое воздействие на персонал и оборудование/конструкции → последующее распространение пожара, если затронутое соседнее оборудование содержит

опасные вещества.

Группа сценариев С₇: разрушение (частичное или полное) технологического трубопровода/трубопроводной арматуры → поступление в окружающую среду взрывопожароопасной жидкости (в том числе жидкости в перегретом состоянии) → при наличии источника зажигания немедленное воспламенение, горение факела и/или пролива (при выбросе невскипающих (стабильных) жидкостей горящий факел образуется только на малых отверстиях разгерметизации, свищах) → в случае отсутствия источника зажигания истечение жидкости, при наличии перегрева жидкости происходит ее вскипание, образование парокапельной смеси в атмосфере → образование и распространение пролива взрывопожароопасной жидкости, его частичное испарение, в случае, если температура проливающейся жидкой фракции меньше температуры подстилающей поверхности, кипение пролива → образование взрывоопасной концентрации паров взрывопожароопасной жидкости в воздухе от испарения, кипения пролива, а при истечении перегретой жидкости и от вскипания выброса → дрейф облака ТВС → воспламенение паров ТВС при наличии источника зажигания → горание, взрыв облака ТВС → пожар разлития и в случае свища либо в случае выброса перегретой жидкости горение факела → попадание в зону возможных поражающих факторов (тепловое излучение, открытое пламя, токсичные продукты исходного выброса либо продукты горения, барическое воздействие) людей, оборудования, сооружений → последующее развитие (эскалация) аварии в случае, если затронутое оборудование содержит опасные вещества → локализация и ликвидация разлития (пожара).

Типовое дерево событий при разгерметизации участка трубопровода с взрывопожароопасной жидкостью приведено на рисунке 1 настоящего приложения.

При анализе сценариев аварий необходимо учитывать условия прокладки и размещения трубопроводов (в замкнутом, полузамкнутом,

незамкнутом пространстве, «труба в трубе»).

На рисунке 1 настоящего приложения принимаются следующие условные вероятности событий:

- а) возможность образования напорной струи в окружающей среде (с): для подземных участков – 0,35 в обычном исполнении при выбросе из отверстия типа «свищ» и $3,15 \cdot 10^{-5}$ для прокладки «труба в трубе» при выбросе из отверстия типа «свищ», в остальных случаях – 0; для надземных участков – 0,7 в одиночном исполнении при выбросе из отверстия типа «свищ» и $6,3 \cdot 10^{-5}$ для прокладки «труба в трубе» при выбросе из отверстия типа «свищ», в остальных случаях – 0; для подводных переходов – 0;
- б) возможность образования взрывоопасной смеси в ограниченном пространстве тоннеля (д) (для прокладки трубопровода в тоннеле): при давлении насыщенных паров жидкости выше НКПР – 1; в остальных случаях – 0;
- в) возможность образования капельной смеси в атмосфере (е): для надземных участков – 1; для подземного участка – 1 в случае напорной струи, в случае ее отсутствия – 0; для подводных переходов – 0;
- г) мгновенное воспламенение (ф): для подводных ОПО МН и МНПП – 0; для иных вариантов выброса: для истечения стабильной жидкой фазы – 0,05, для истечения нестабильной жидкой фазы – 0,2;
- д) возможность образования разлития для подводных участков при свище и скорости течения более 1 м/с – 0, в остальных случаях – 1;
- е) образование взрывоопасного облака паров нефти, нефтепродукта при испарении с пролива (г) для всех нефтей и нефтепродуктов с давлением насыщенных паров менее 10 кПа – 0, в остальных случаях – 1;
- ж) отсроченное воспламенение (воспламенение с задержкой) (х): при выбросе в тоннеле – 0,1; в остальных случаях: для истечения стабильной жидкой фазы – 0,061, для истечения нестабильной жидкой фазы – 0,24;
- и) возможность образования взрывоопасной смеси в межтрубном пространстве для прокладки «труба в трубе» с последующим ее взрывом

и разрушением внешней трубы (а) – не равна нулю только для свищей во внутренней трубе при транспортировании нефти, нефтепродуктов с давлением насыщенных паров выше НКПР и принимается равной $7 \cdot 10^{-5}$;

к) возможность увеличения отверстия разрушения (во внутренней трубе) после взрыва взрывоопасной смеси в межтрубном пространстве с последующим ее разрушением (б) – 0,1.

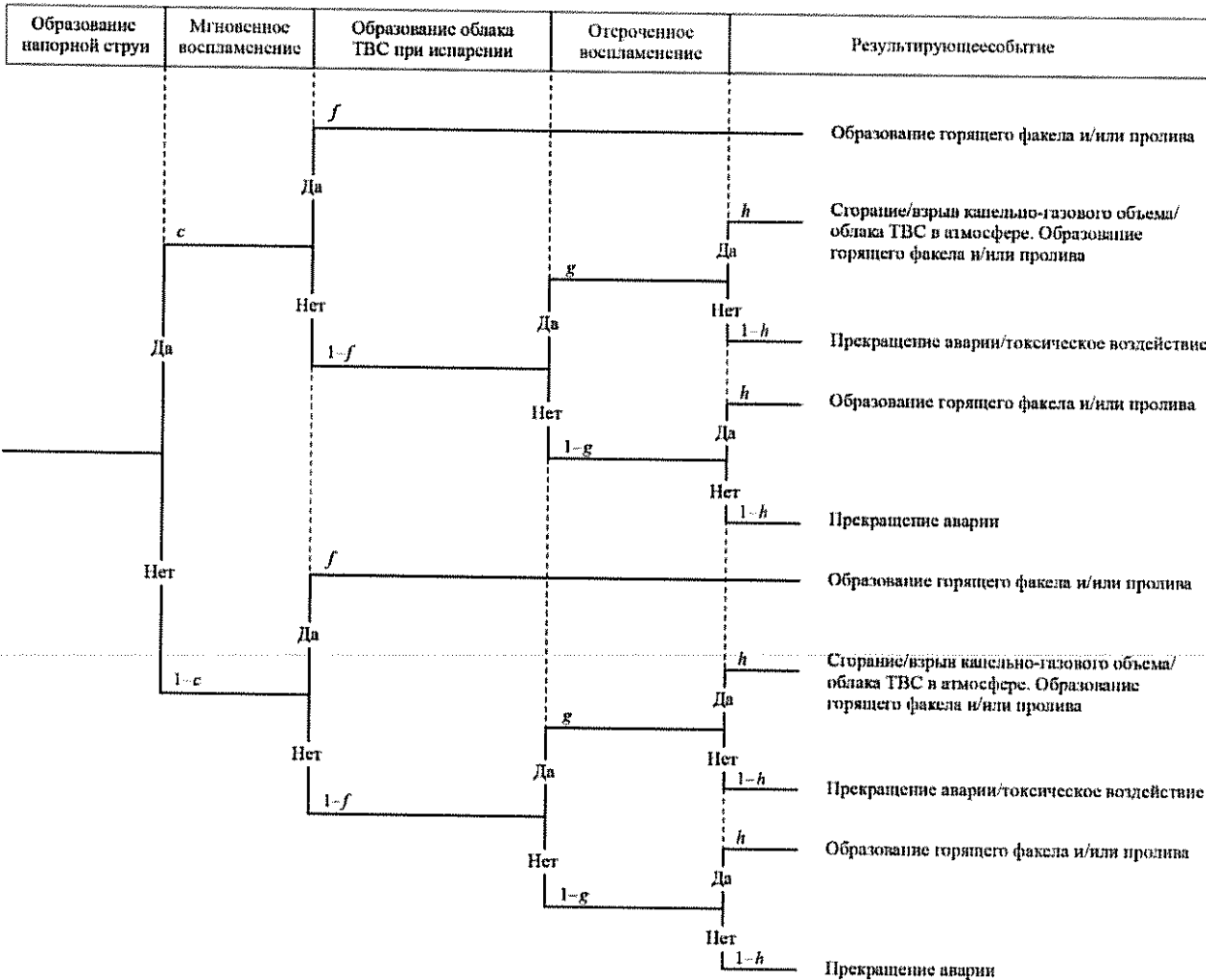


Рис. 1. Дерево событий при разгерметизации технологического трубопровода

Приведенные условные вероятности могут быть скорректированы с учетом дополнительных решений, направленных на снижение риска аварий.

На рисунке 1 настоящего приложения не представлены ветвления, связанные с действиями по тушению, ликвидации пожара. Такое ветвление происходит по двум путям:

- прекращение пожара в случае успешных действий;

б) продолжение пожара в случае неудачи.

Данное ветвление учитывается при расчете условных вероятностей конечных событий, что достигается путем умножения соответствующей условной вероятности на условную вероятность успешности тушения пожара. Процедура выполняется для каждой ветви «дерева событий», на которой предпринимается соответствующее действие.

Приложение № 6
 к Руководству по безопасности «Методика
 анализа риска аварий на опасных
 производственных объектах морского
 нефтегазового комплекса», утвержденному
 приказом Федеральной службы
 по экологическому, технологическому
 и атомному надзору
 от « 10 » февраля 2023 г. № 51

**ЧАСТОТЫ АВАРИЙНОЙ РАЗГЕРМЕТИЗАЦИИ И УТЕЧЕК ИЗ
ТИПОВОГО ОБОРУДОВАНИЯ НА ОПО МНГК**

Частоты аварийной разгерметизации и утечек из типового оборудования на ОПО МНГК¹ рекомендуется принимать согласно таблицам № 1 – 3.

Частоты утечек и выбросов принимаются согласно сведениям из Руководства по безопасности «Методика анализа риска аварий на опасных производственных объектах нефтегазодобычи», утвержденного приказом Ростехнадзора от 10 января 2023 г. № 4.

Таблица № 1
Частоты отказов трубопроводов и райзеров

Трубопроводы	Параметры	Частота отказа	Единица измерения
Морские трубопроводы в открытом море	Трубопровод скважинной продукции и другие небольшие трубопроводы, содержащие необработанные флюиды	$5,0 \cdot 10^{-4}$	на км/год
	Промышленные нефтяные или газовые трубопроводы, диаметр ≤ 24 дюймов	$5,1 \cdot 10^{-5}$	на км/год
	Промышленные нефтяные или газовые трубопроводы, диаметр > 24 дюймов	$1,4 \cdot 10^{-4}$	на км/год
Морские трубопроводы, повреждения в зоне безопасности, причины: внешние нагрузки	Диаметр ≤ 16 дюймов	$7,9 \cdot 10^{-4}$	в год
	Диаметр > 16 дюймов	$1,9 \cdot 10^{-4}$	в год

¹ Данные приняты согласно OGP Risk Assessment Data Directory. Report № 434-1, Report № 434-2, March 2010.

Трубопроводы	Параметры	Частота отказа	Единица измерения
Гибкие морские трубопроводы	Все	$2,3 \cdot 10^{-3}$	на км/год
Райзеры	Сталь – диаметр ≤ 16 дюймов	$9,1 \cdot 10^{-4}$	в год
	Сталь – диаметр > 16 дюймов	$1,2 \cdot 10^{-4}$	в год
	Гибкие	$6,0 \cdot 10^{-3}$	в год
Береговые нефтепроводы	Диаметр < 8 дюймов	$1,0 \cdot 10^{-3}$	на км/год
	8 дюймов \leq диаметр ≤ 14 дюймов	$8,0 \cdot 10^{-4}$	на км/год
	16 дюймов \leq диаметр ≤ 22 дюймов	$1,2 \cdot 10^{-4}$	на км/год
	24 дюймов \leq диаметр ≤ 28 дюймов	$2,5 \cdot 10^{-4}$	на км/год
	Диаметр > 28 дюймов	$2,5 \cdot 10^{-4}$	на км/год
Береговые газопроводы	Толщина стенки ≤ 5 мм	$4,0 \cdot 10^{-4}$	на км/год
	5 мм $<$ толщина стенки ≤ 10 мм	$1,7 \cdot 10^{-4}$	на км/год
	10 мм $<$ толщина стенки ≤ 15 мм	$8,1 \cdot 10^{-5}$	на км/год
	Толщина стенки > 15 мм	$4,1 \cdot 10^{-5}$	на км/год

Таблица № 2

**Распределение размеров отверстий
для райзеров и трубопроводов**

Размер отверстия	Подводный трубопровод	Береговой трубопровод		Райзер
		газ	нефть	
Маленькое (< 20 мм)	74%	50%	23%	60%
Среднее (от 20 до 80 мм)	16%	18%	33%	15%
Большое (> 80 мм)	2%	18%	15%	25%
Полное разрушение	8%	14%	29%	

Таблица № 3

Распределение мест выбросов для райзеров

Место выброса	Распределение
Над водой	20%
Зона периодического смачивания	50%
Под водой	30%

Частоты утечек для различных типов оборудования в зависимости от степени загрузки оборудования приведены в таблицах № 4 – 42.

Таблица № 4

**Зависимость частоты утечек (на м/год)
от диаметра трубопровода² для всех трубопроводов**

Диапазон размера отверстия, мм	2" (~50 мм)	6" (~150 мм)	12" (~300 мм)	18" (~450 мм)	24" (~600 мм)	36" (~900 мм)
от 1 до 3	$9,0 \cdot 10^{-5}$	$4,1 \cdot 10^{-5}$	$3,7 \cdot 10^{-5}$	$3,6 \cdot 10^{-5}$	$3,6 \cdot 10^{-5}$	$3,6 \cdot 10^{-5}$
от 3 до 10	$3,8 \cdot 10^{-5}$	$1,7 \cdot 10^{-5}$	$1,6 \cdot 10^{-5}$	$1,5 \cdot 10^{-5}$	$1,5 \cdot 10^{-5}$	$1,5 \cdot 10^{-5}$
от 10 до 50	$2,7 \cdot 10^{-5}$	$7,4 \cdot 10^{-6}$	$6,7 \cdot 10^{-6}$	$6,5 \cdot 10^{-6}$	$6,5 \cdot 10^{-6}$	$6,5 \cdot 10^{-6}$
от 50 до 150	0,00	$7,6 \cdot 10^{-6}$	$1,4 \cdot 10^{-6}$	$1,4 \cdot 10^{-6}$	$1,4 \cdot 10^{-6}$	$1,4 \cdot 10^{-6}$
> 150	0,00	0,00	$5,9 \cdot 10^{-6}$	$5,9 \cdot 10^{-6}$	$5,9 \cdot 10^{-6}$	$5,9 \cdot 10^{-6}$
Всего	$1,5 \cdot 10^{-4}$	$7,4 \cdot 10^{-5}$	$6,7 \cdot 10^{-5}$	$6,5 \cdot 10^{-5}$	$6,5 \cdot 10^{-5}$	$6,5 \cdot 10^{-5}$

Таблица № 5

Зависимость частоты утечек из полностью загруженного трубопровода (на м/год) от диаметра трубопровода²

Диапазон размера отверстия, мм	2" (~50 мм)	6" (~150 мм)	12" (~300 мм)	18" (~450 мм)	24" (~600 мм)	36" (~900 мм)
от 1 до 3	$5,5 \cdot 10^{-5}$	$2,6 \cdot 10^{-5}$	$2,3 \cdot 10^{-5}$	$2,3 \cdot 10^{-5}$	$23 \cdot 10^{-5}$	$2,3 \cdot 10^{-5}$
от 3 до 10	$1,8 \cdot 10^{-5}$	$8,5 \cdot 10^{-6}$	$7,6 \cdot 10^{-6}$	$7,5 \cdot 10^{-6}$	$7,4 \cdot 10^{-6}$	$7,4 \cdot 10^{-6}$
от 10 до 50	$7,0 \cdot 10^{-6}$	$2,7 \cdot 10^{-6}$	$2,4 \cdot 10^{-6}$	$2,4 \cdot 10^{-6}$	$2,4 \cdot 10^{-6}$	$2,3 \cdot 10^{-6}$
от 50 до 150	0,00	$6,0 \cdot 10^{-7}$	$3,7 \cdot 10^{-7}$	$3,6 \cdot 10^{-7}$	$3,6 \cdot 10^{-7}$	$3,6 \cdot 10^{-7}$
> 150	0,00	0,00	$1,7 \cdot 10^{-7}$	$1,7 \cdot 10^{-7}$	$1,6 \cdot 10^{-7}$	$1,6 \cdot 10^{-7}$
Всего	$8,0 \cdot 10^{-5}$	$3,8 \cdot 10^{-5}$	$3,4 \cdot 10^{-5}$	$3,3 \cdot 10^{-5}$	$33 \cdot 10^{-5}$	$3,3 \cdot 10^{-5}$

² Морские: включают трубопроводы, расположенные в надводной (между скважиной и райзером) и подводной частях (между скважиной и трубопроводом). Береговые: включают трубопроводы в технологических установках, но не межблочные трубопроводы или магистральные трубопроводы. Учтены сварные соединения, но не учтены все задвижки, фланцы и измерительные приборы.

Таблица № 6

Зависимость частоты утечек из частично загруженного трубопровода (на м/год) от диаметра трубопровода²

Диапазон размера отверстия, мм	2" (~50 мм)	6" (~150 мм)	12" (~300 мм)	18" (~450 мм)	24" (~600 мм)	36" (~900 мм)
от 1 до 3	$3,1 \cdot 10^{-5}$	$9,9 \cdot 10^{-6}$	$8,1 \cdot 10^{-6}$	$7,8 \cdot 10^{-6}$	$7,7 \cdot 10^{-6}$	$7,6 \cdot 10^{-6}$
от 3 до 10	$1,5 \cdot 10^{-5}$	$4,9 \cdot 10^{-6}$	$4,0 \cdot 10^{-6}$	$3,8 \cdot 10^{-6}$	$3,8 \cdot 10^{-6}$	$3,7 \cdot 10^{-6}$
от 10 до 50	$1,3 \cdot 10^{-5}$	$2,5 \cdot 10^{-6}$	$2,0 \cdot 10^{-6}$	$1,9 \cdot 10^{-6}$	$1,9 \cdot 10^{-6}$	$1,9 \cdot 10^{-6}$
от 50 до 150	0,00	$3,2 \cdot 10^{-6}$	$5,2 \cdot 10^{-7}$	$5,0 \cdot 10^{-7}$	$4,9 \cdot 10^{-7}$	$4,9 \cdot 10^{-7}$
> 150	0,00	0,00	$2,4 \cdot 10^{-6}$	$2,4 \cdot 10^{-6}$	$2,4 \cdot 10^{-6}$	$2,4 \cdot 10^{-6}$
Всего	$5,9 \cdot 10^{-5}$	$2,0 \cdot 10^{-5}$	$1,7 \cdot 10^{-5}$	$1,6 \cdot 10^{-5}$	$1,6 \cdot 10^{-5}$	$1,6 \cdot 10^{-5}$

Таблица № 7

Зависимость частоты утечек из незагруженного трубопровода (на м/год) от диаметра трубопровода²

Диапазон размера отверстия, мм	2" (~50 мм)	6" (~150 мм)	12" (~300 мм)	18" (~450 мм)	24" (~600 мм)	36" (~900 мм)
от 1 до 3	$3,7 \cdot 10^{-6}$	$3,2 \cdot 10^{-6}$	$3,1 \cdot 10^{-6}$	$3,1 \cdot 10^{-6}$	$3,1 \cdot 10^{-6}$	$3,1 \cdot 10^{-6}$
от 3 до 10	$2,7 \cdot 10^{-6}$	$2,3 \cdot 10^{-6}$				
от 10 до 50	$6,0 \cdot 10^{-6}$	$1,9 \cdot 10^{-6}$	$1,8 \cdot 10^{-6}$	$1,8 \cdot 10^{-6}$	$1,8 \cdot 10^{-6}$	$1,8 \cdot 10^{-6}$
от 50 до 150	0,00	$3,4 \cdot 10^{-6}$	$7,7 \cdot 10^{-7}$	$7,6 \cdot 10^{-7}$	$7,6 \cdot 10^{-7}$	$7,8 \cdot 10^{-7}$
> 150	0,00	0,00	$2,6 \cdot 10^{-6}$	$2,6 \cdot 10^{-6}$	$2,6 \cdot 10^{-6}$	$2,6 \cdot 10^{-6}$
Всего	$1,24 \cdot 10^{-5}$	$1,07 \cdot 10^{-5}$	$1,06 \cdot 10^{-5}$	$1,05 \cdot 10^{-5}$	$1,05 \cdot 10^{-5}$	$1,05 \cdot 10^{-5}$

Таблица № 8

**Зависимость частоты утечек (на фланцевое соединение/год)
от диаметра фланца³ для всех фланцев**

Диапазон размера отверстия, мм	2" (~50 мм)	6" (~150 мм)	12" (~300 мм)	18" (~450 мм)	24" (~600 мм)	36" (~900 мм)
от 1 до 3	$4,4 \cdot 10^{-5}$	$6,5 \cdot 10^{-5}$	$9,6 \cdot 10^{-5}$	$1,2 \cdot 10^{-4}$	$1,5 \cdot 10^{-4}$	$2,1 \cdot 10^{-4}$
от 3 до 10	$1,8 \cdot 10^{-5}$	$2,6 \cdot 10^{-5}$	$3,9 \cdot 10^{-5}$	$5,1 \cdot 10^{-5}$	$6,2 \cdot 10^{-5}$	$8,5 \cdot 10^{-5}$
от 10 до 50	$1,5 \cdot 10^{-5}$	$1,1 \cdot 10^{-5}$	$1,6 \cdot 10^{-5}$	$2,1 \cdot 10^{-5}$	$2,5 \cdot 10^{-5}$	$3,4 \cdot 10^{-5}$
от 50 до 150	0,00	$8,5 \cdot 10^{-6}$	$3,2 \cdot 10^{-6}$	$4,1 \cdot 10^{-6}$	$5,1 \cdot 10^{-6}$	$6,9 \cdot 10^{-6}$
> 150	0,00	0,00	$7,0 \cdot 10^{-6}$	$7,6 \cdot 10^{-6}$	$8,2 \cdot 10^{-6}$	$9,3 \cdot 10^{-6}$
Всего	$7,6 \cdot 10^{-5}$	$1,1 \cdot 10^{-4}$	$1,6 \cdot 10^{-4}$	$2,1 \cdot 10^{-4}$	$2,5 \cdot 10^{-4}$	$3,4 \cdot 10^{-4}$

Таблица № 9

**Зависимость частоты утечек из полностью загруженного фланца
(на фланцевое соединение/год) от диаметра фланца³**

Диапазон размера отверстия, мм	2" (~50 мм)	6" (~150 мм)	12" (~300 мм)	18" (~450 мм)	24" (~600 мм)	36" (~900 мм)
от 1 до 3	$2,6 \cdot 10^{-5}$	$3,7 \cdot 10^{-5}$	$5,9 \cdot 10^{-5}$	$8,3 \cdot 10^{-5}$	$1,1 \cdot 10^{-4}$	$1,7 \cdot 10^{-4}$
от 3 до 10	$7,6 \cdot 10^{-6}$	$1,1 \cdot 10^{-5}$	$1,7 \cdot 10^{-5}$	$2,4 \cdot 10^{-5}$	$3,2 \cdot 10^{-5}$	$4,9 \cdot 10^{-5}$
от 10 до 50	$4,0 \cdot 10^{-6}$	$3,0 \cdot 10^{-6}$	$4,7 \cdot 10^{-6}$	$6,6 \cdot 10^{-6}$	$8,8 \cdot 10^{-6}$	$1,4 \cdot 10^{-5}$
от 50 до 150	0,00	$2,0 \cdot 10^{-6}$	$6,1 \cdot 10^{-7}$	$8,7 \cdot 10^{-7}$	$1,1 \cdot 10^{-6}$	$1,8 \cdot 10^{-6}$
> 150	0,00	0,00	$1,7 \cdot 10^{-6}$	$1,8 \cdot 10^{-6}$	$1,9 \cdot 10^{-6}$	$2,2 \cdot 10^{-6}$
Всего	$3,8 \cdot 10^{-5}$	$5,3 \cdot 10^{-5}$	$8,3 \cdot 10^{-5}$	$1,2 \cdot 10^{-4}$	$1,5 \cdot 10^{-4}$	$2,4 \cdot 10^{-4}$

³ Применимы к фланцевым соединениям, состоящим из двух поверхностей фланцев, уплотнительной прокладки (если установлена) и двух сварных соединений труб, включая следующие типы: с кольцевой, со спиральной навивкой, стыковой хомут и быстроразъемное соединение с накидной крыльчатой гайкой.

Таблица № 10

**Зависимость частоты утечек из частично загруженного фланца
(на фланцевое соединение/год) от диаметра фланца³**

Диапазон размера отверстия, мм	2" (~50 мм)	6" (~150 мм)	12" (~300 мм)	18" (~450 мм)	24" (~600 мм)	36" (~900 мм)
от 1 до 3	$1,5 \cdot 10^{-5}$	$2,3 \cdot 10^{-5}$	$3,1 \cdot 10^{-5}$	$3,8 \cdot 10^{-5}$	$4,4 \cdot 10^{-5}$	$5,4 \cdot 10^{-5}$
от 3 до 10	$7,9 \cdot 10^{-6}$	$1,2 \cdot 10^{-5}$	$1,6 \cdot 10^{-5}$	$2,0 \cdot 10^{-5}$	$2,3 \cdot 10^{-5}$	$2,8 \cdot 10^{-5}$
от 10 до 50	$8,6 \cdot 10^{-6}$	$6,4 \cdot 10^{-6}$	$8,7 \cdot 10^{-6}$	$1,1 \cdot 10^{-5}$	$1,2 \cdot 10^{-5}$	$1,5 \cdot 10^{-5}$
от 50 до 150	0,00	$5,4 \cdot 10^{-6}$	$2,4 \cdot 10^{-6}$	$2,9 \cdot 10^{-6}$	$3,4 \cdot 10^{-6}$	$4,1 \cdot 10^{-6}$
> 150	0,00	0,00	$4,3 \cdot 10^{-6}$	$4,8 \cdot 10^{-6}$	$5,2 \cdot 10^{-6}$	$5,9 \cdot 10^{-6}$
Всего	$3,2 \cdot 10^{-5}$	$4,7 \cdot 10^{-5}$	$6,2 \cdot 10^{-5}$	$7,5 \cdot 10^{-5}$	$8,7 \cdot 10^{-5}$	$1,1 \cdot 10^{-4}$

Таблица № 11

**Зависимость частоты утечек из незагруженного фланца
(на фланцевое соединение/год) от диаметра фланца³**

Диапазон размера отверстия, мм	2" (~50 мм)	6" (~150 мм)	12" (~300 мм)	18" (~450 мм)	24" (~600 мм)	36" (~900 мм)
от 1 до 3	$1,5 \cdot 10^{-6}$	$1,7 \cdot 10^{-6}$	$2,6 \cdot 10^{-6}$	$4,2 \cdot 10^{-6}$	$6,7 \cdot 10^{-6}$	$1,4 \cdot 10^{-5}$
от 3 до 10	$1,1 \cdot 10^{-6}$	$1,2 \cdot 10^{-6}$	$1,9 \cdot 10^{-6}$	$3,1 \cdot 10^{-6}$	$4,9 \cdot 10^{-6}$	$1,1 \cdot 10^{-5}$
от 10 до 50	$2,0 \cdot 10^{-6}$	$1,0 \cdot 10^{-6}$	$1,5 \cdot 10^{-6}$	$2,5 \cdot 10^{-6}$	$4,0 \cdot 10^{-6}$	$8,6 \cdot 10^{-6}$
от 50 до 150	0,00	$1,3 \cdot 10^{-6}$	$6,4 \cdot 10^{-7}$	$1,1 \cdot 10^{-6}$	$1,7 \cdot 10^{-6}$	$3,6 \cdot 10^{-6}$
> 150	0,00	0,00	$1,4 \cdot 10^{-6}$	$2,2 \cdot 10^{-6}$	$3,5 \cdot 10^{-6}$	$7,6 \cdot 10^{-6}$
Всего	$4,6 \cdot 10^{-6}$	$5,2 \cdot 10^{-6}$	$7,9 \cdot 10^{-6}$	$1,3 \cdot 10^{-5}$	$2,1 \cdot 10^{-5}$	$4,5 \cdot 10^{-5}$

Таблица № 12

Зависимость частоты утечек (на задвижку/год) от диаметра задвижки для всех задвижек с ручным приводом⁴

Диапазон размера отверстия, мм	2" (~50 мм)	6" (~150 мм)	12" (~300 мм)	18" (~450 мм)	24" (~600 мм)	36" (~900 мм)
от 1 до 3	$4,4 \cdot 10^{-5}$	$6,6 \cdot 10^{-5}$	$8,4 \cdot 10^{-5}$	$9,8 \cdot 10^{-5}$	$1,1 \cdot 10^{-4}$	$1,3 \cdot 10^{-4}$
от 3 до 10	$2,3 \cdot 10^{-5}$	$3,4 \cdot 10^{-5}$	$4,3 \cdot 10^{-5}$	$5,0 \cdot 10^{-5}$	$5,6 \cdot 10^{-5}$	$6,4 \cdot 10^{-5}$
от 10 до 50	$2,1 \cdot 10^{-5}$	$1,8 \cdot 10^{-5}$	$2,3 \cdot 10^{-5}$	$2,7 \cdot 10^{-5}$	$3,0 \cdot 10^{-5}$	$3,4 \cdot 10^{-5}$
от 50 до 150	0,00	$1,1 \cdot 10^{-5}$	$6,3 \cdot 10^{-6}$	$7,3 \cdot 10^{-6}$	$8,0 \cdot 10^{-6}$	$9,3 \cdot 10^{-6}$
> 150	0,00	0,00	$7,8 \cdot 10^{-6}$	$8,7 \cdot 10^{-6}$	$9,5 \cdot 10^{-6}$	$1,1 \cdot 10^{-5}$
Всего	$8,8 \cdot 10^{-5}$	$1,3 \cdot 10^{-4}$	$1,7 \cdot 10^{-4}$	$1,9 \cdot 10^{-4}$	$2,1 \cdot 10^{-4}$	$2,4 \cdot 10^{-4}$

Таблица № 13

Зависимость частоты утечек из полностью загруженной задвижки (на задвижку/год) от диаметра задвижки с ручным приводом⁴

Диапазон размера отверстия, мм	2" (~50 мм)	6" (~150 мм)	12" (~300 мм)	18" (~450 мм)	24" (~600 мм)	36" (~900 мм)
от 1 до 3	$2,0 \cdot 10^{-5}$	$3,1 \cdot 10^{-5}$	$4,3 \cdot 10^{-5}$	$5,3 \cdot 10^{-5}$	$6,2 \cdot 10^{-5}$	$7,8 \cdot 10^{-5}$
от 3 до 10	$7,7 \cdot 10^{-6}$	$1,2 \cdot 10^{-5}$	$1,7 \cdot 10^{-5}$	$2,1 \cdot 10^{-5}$	$2,4 \cdot 10^{-5}$	$3,0 \cdot 10^{-5}$
от 10 до 50	$4,9 \cdot 10^{-6}$	$4,7 \cdot 10^{-6}$	$6,5 \cdot 10^{-6}$	$8,0 \cdot 10^{-6}$	$9,4 \cdot 10^{-6}$	$1,2 \cdot 10^{-5}$
от 50 до 150	0,00	$2,4 \cdot 10^{-6}$	$1,2 \cdot 10^{-6}$	$1,5 \cdot 10^{-6}$	$1,8 \cdot 10^{-6}$	$2,2 \cdot 10^{-6}$
> 150	0,00	0,00	$1,7 \cdot 10^{-6}$	$1,9 \cdot 10^{-6}$	$2,1 \cdot 10^{-6}$	$2,3 \cdot 10^{-6}$
Всего	$3,2 \cdot 10^{-5}$	$5,0 \cdot 10^{-5}$	$6,9 \cdot 10^{-5}$	$8,5 \cdot 10^{-5}$	$1,0 \cdot 10^{-4}$	$1,2 \cdot 10^{-4}$

⁴ Включая все типы задвижек с ручным приводом (блокирующие, сливные, дроссельные), задвижки типа вентиль, шаровая, заглушка, "шар", "игла" и "бабочка". Учтены тело задвижки, штанга и пакер, но не учтены фланцы, контрольные и измерительные приборы.

Таблица № 14

Зависимость частоты утечек из частично загруженной задвижки (на задвижку/год) от диаметра задвижки с ручным приводом⁴

Диапазон размера отверстия, мм	2" (~50 мм)	6" (~150 мм)	12" (~300 мм)	18" (~450 мм)	24" (~600 мм)	36" (~900 мм)
от 1 до 3	$2,4 \cdot 10^{-5}$	$2,7 \cdot 10^{-5}$	$3,2 \cdot 10^{-5}$	$3,7 \cdot 10^{-5}$	$4,3 \cdot 10^{-5}$	$5,4 \cdot 10^{-5}$
от 3 до 10	$1,4 \cdot 10^{-5}$	$1,5 \cdot 10^{-5}$	$1,8 \cdot 10^{-5}$	$2,1 \cdot 10^{-5}$	$2,5 \cdot 10^{-5}$	$3,1 \cdot 10^{-5}$
от 10 до 50	$1,4 \cdot 10^{-5}$	$9,5 \cdot 10^{-6}$	$1,1 \cdot 10^{-5}$	$1,3 \cdot 10^{-5}$	$1,5 \cdot 10^{-5}$	$1,9 \cdot 10^{-5}$
от 50 до 150	0,00	$6,4 \cdot 10^{-6}$	$3,5 \cdot 10^{-6}$	$4,1 \cdot 10^{-6}$	$4,7 \cdot 10^{-6}$	$6,0 \cdot 10^{-6}$
> 150	0,00	0,00	$4,1 \cdot 10^{-6}$	$4,8 \cdot 10^{-6}$	$5,5 \cdot 10^{-6}$	$7,0 \cdot 10^{-6}$
Всего	$5,1 \cdot 10^{-5}$	$5,8 \cdot 10^{-5}$	$6,9 \cdot 10^{-5}$	$8,1 \cdot 10^{-5}$	$9,3 \cdot 10^{-5}$	$1,2 \cdot 10^{-4}$

Таблица № 15

Зависимость частоты утечек из незагруженной задвижки (на задвижку/год) от диаметра задвижки с ручным приводом⁴

Диапазон размера отверстия, мм	2" (~50 мм)	6" (~150 мм)	12" (~300 мм)	18" (~450 мм)	24" (~600 мм)	36" (~900 мм)
от 1 до 3	$3,6 \cdot 10^{-7}$	$7,1 \cdot 10^{-7}$	$1,1 \cdot 10^{-6}$	$1,4 \cdot 10^{-6}$	$1,7 \cdot 10^{-6}$	$2,2 \cdot 10^{-6}$
от 3 до 10	$3,5 \cdot 10^{-7}$	$6,9 \cdot 10^{-7}$	$1,1 \cdot 10^{-6}$	$1,4 \cdot 10^{-6}$	$1,7 \cdot 10^{-6}$	$2,1 \cdot 10^{-6}$
от 10 до 50	$2,4 \cdot 10^{-6}$	$7,8 \cdot 10^{-7}$	$1,2 \cdot 10^{-6}$	$1,6 \cdot 10^{-6}$	$1,9 \cdot 10^{-6}$	$2,4 \cdot 10^{-6}$
от 50 до 150	0,00	$4,0 \cdot 10^{-6}$	$7,1 \cdot 10^{-7}$	$9,2 \cdot 10^{-7}$	$1,1 \cdot 10^{-6}$	$1,4 \cdot 10^{-6}$
> 150	0,00	0,00	$5,4 \cdot 10^{-6}$	$7,0 \cdot 10^{-6}$	$8,5 \cdot 10^{-6}$	$1,1 \cdot 10^{-5}$
Всего	$3,1 \cdot 10^{-6}$	$6,2 \cdot 10^{-6}$	$9,5 \cdot 10^{-6}$	$1,2 \cdot 10^{-5}$	$1,5 \cdot 10^{-5}$	$1,9 \cdot 10^{-5}$

Таблица № 16

Зависимость частоты утечек (на задвижку/год) от диаметра задвижки для всех задвижек с приводом⁵

Диапазон размера отверстия, мм	2" (~50 мм)	6" (~150 мм)	12" (~300 мм)	18" (~450 мм)	24" (~600 мм)	36" (~900 мм)
от 1 до 3	$4,2 \cdot 10^{-4}$	$3,6 \cdot 10^{-4}$	$3,3 \cdot 10^{-4}$	$3,1 \cdot 10^{-4}$	$3,0 \cdot 10^{-4}$	$2,8 \cdot 10^{-4}$
от 3 до 10	$1,8 \cdot 10^{-4}$	$1,5 \cdot 10^{-4}$	$1,4 \cdot 10^{-4}$	$1,3 \cdot 10^{-4}$	$1,3 \cdot 10^{-4}$	$1,2 \cdot 10^{-4}$
от 10 до 50	$1,1 \cdot 10^{-4}$	$6,6 \cdot 10^{-5}$	$6,0 \cdot 10^{-5}$	$5,6 \cdot 10^{-5}$	$5,4 \cdot 10^{-5}$	$5,0 \cdot 10^{-5}$
от 50 до 150	0,00	$3,3 \cdot 10^{-5}$	$1,3 \cdot 10^{-5}$	$1,2 \cdot 10^{-5}$	$1,1 \cdot 10^{-5}$	$1,1 \cdot 10^{-5}$
> 150	0,00	0,00	$1,8 \cdot 10^{-5}$	$1,8 \cdot 10^{-5}$	$1,8 \cdot 10^{-5}$	$1,7 \cdot 10^{-5}$
Всего	$7,1 \cdot 10^{-4}$	$6,2 \cdot 10^{-4}$	$5,6 \cdot 10^{-4}$	$5,3 \cdot 10^{-4}$	$5,0 \cdot 10^{-4}$	$4,7 \cdot 10^{-4}$

Таблица № 17

Зависимость частоты утечек из полностью загруженной задвижки (на задвижку/год) от диаметра задвижки с приводом⁵

Диапазон размера отверстия, мм	2" (~50 мм)	6" (~150 мм)	12" (~300 мм)	18" (~450 мм)	24" (~600 мм)	36" (~900 мм)
от 1 до 3	$2,4 \cdot 10^{-4}$	$2,2 \cdot 10^{-4}$	$2,1 \cdot 10^{-4}$	$2,0 \cdot 10^{-4}$	$2,0 \cdot 10^{-4}$	$1,9 \cdot 10^{-4}$
от 3 до 10	$7,3 \cdot 10^{-5}$	$6,6 \cdot 10^{-5}$	$6,3 \cdot 10^{-5}$	$6,0 \cdot 10^{-5}$	$5,9 \cdot 10^{-5}$	$5,6 \cdot 10^{-5}$
от 10 до 50	$3,0 \cdot 10^{-5}$	$1,9 \cdot 10^{-5}$	$1,8 \cdot 10^{-5}$	$1,7 \cdot 10^{-5}$	$1,7 \cdot 10^{-5}$	$1,6 \cdot 10^{-5}$
от 50 до 150	0,00	$8,6 \cdot 10^{-6}$	$2,4 \cdot 10^{-6}$	$2,3 \cdot 10^{-6}$	$2,2 \cdot 10^{-6}$	$2,2 \cdot 10^{-6}$
> 150	0,00	0,00	$6,0 \cdot 10^{-6}$	$5,9 \cdot 10^{-6}$	$5,9 \cdot 10^{-6}$	$5,9 \cdot 10^{-6}$
Всего	$3,5 \cdot 10^{-4}$	$3,2 \cdot 10^{-4}$	$3,0 \cdot 10^{-4}$	$2,9 \cdot 10^{-4}$	$2,8 \cdot 10^{-4}$	$2,7 \cdot 10^{-4}$

⁵ Включая все типы задвижек с приводом (блокирующие, противовыбросные, дроссельные, предохранительно-запорные клапаны, сбросные), но не задвижки с приводом на трубопроводах (предохранительно-запорные клапаны на трубопроводах), включая задвижки типа вентиль, шаровая, заглушка. Учтены тело задвижки, штанга и пакер, но не учтены фланцы, контрольные и измерительные приборы.

Таблица № 18

Зависимость частоты утечек из частично загруженной задвижки (на задвижку/год) от диаметра задвижки с приводом⁵

Диапазон размера отверстия, мм	2" (~50 мм)	6" (~150 мм)	12" (~300 мм)	18" (~450 мм)	24" (~600 мм)	36" (~900 мм)
от 1 до 3	$1,7 \cdot 10^{-4}$	$1,3 \cdot 10^{-4}$	$1,1 \cdot 10^{-4}$	$9,7 \cdot 10^{-5}$	$8,9 \cdot 10^{-5}$	$7,7 \cdot 10^{-5}$
от 3 до 10	$8,8 \cdot 10^{-5}$	$6,9 \cdot 10^{-5}$	$5,7 \cdot 10^{-5}$	$5,1 \cdot 10^{-5}$	$4,7 \cdot 10^{-5}$	$4,1 \cdot 10^{-5}$
от 10 до 50	$7,8 \cdot 10^{-5}$	$3,8 \cdot 10^{-5}$	$3,2 \cdot 10^{-5}$	$2,8 \cdot 10^{-5}$	$2,6 \cdot 10^{-5}$	$2,3 \cdot 10^{-5}$
от 50 до 150	0,00	$2,3 \cdot 10^{-5}$	$9,0 \cdot 10^{-6}$	$8,0 \cdot 10^{-6}$	$7,3 \cdot 10^{-6}$	$6,4 \cdot 10^{-6}$
> 150	0,00	0,00	$1,1 \cdot 10^{-5}$	$9,8 \cdot 10^{-6}$	$9,2 \cdot 10^{-6}$	$8,3 \cdot 10^{-6}$
Всего	$3,3 \cdot 10^{-4}$	$2,6 \cdot 10^{-4}$	$2,2 \cdot 10^{-4}$	$1,9 \cdot 10^{-4}$	$1,8 \cdot 10^{-4}$	$1,6 \cdot 10^{-4}$

Таблица № 19

Зависимость частоты утечек из незагруженной задвижки (на задвижку/год) от диаметра задвижки с приводом⁵

Диапазон размера отверстия, мм	2" (~50 мм)	6" (~150 мм)	12" (~300 мм)	18" (~450 мм)	24" (~600 мм)	36" (~900 мм)
от 1 до 3	$1,1 \cdot 10^{-5}$	$1,8 \cdot 10^{-5}$	$2,5 \cdot 10^{-5}$	$3,0 \cdot 10^{-5}$	$3,4 \cdot 10^{-5}$	$4,1 \cdot 10^{-5}$
от 3 до 10	$7,8 \cdot 10^{-6}$	$1,3 \cdot 10^{-5}$	$1,7 \cdot 10^{-5}$	$2,1 \cdot 10^{-5}$	$2,3 \cdot 10^{-5}$	$2,8 \cdot 10^{-5}$
от 10 до 50	$1,3 \cdot 10^{-5}$	$9,6 \cdot 10^{-6}$	$1,3 \cdot 10^{-5}$	$1,6 \cdot 10^{-5}$	$1,8 \cdot 10^{-5}$	$2,2 \cdot 10^{-5}$
от 50 до 150	0,00	$1,1 \cdot 10^{-5}$	$5,2 \cdot 10^{-6}$	$6,2 \cdot 10^{-6}$	$7,1 \cdot 10^{-6}$	$8,5 \cdot 10^{-6}$
> 150	0,00	0,00	$9,3 \cdot 10^{-6}$	$1,1 \cdot 10^{-5}$	$1,3 \cdot 10^{-5}$	$1,5 \cdot 10^{-5}$
Всего	$3,2 \cdot 10^{-5}$	$5,1 \cdot 10^{-5}$	$6,9 \cdot 10^{-5}$	$8,3 \cdot 10^{-5}$	$9,5 \cdot 10^{-5}$	$1,1 \cdot 10^{-4}$

Таблица № 20

Частоты утечек из соединительных устройств измерительных приборов⁶ (на устройство/год); диаметр от 10 до 50 мм

Диапазон размера отверстия, мм	Все утечки	Утечки из полностью загруженного оборудования	Утечки из частично загруженного оборудования	Утечки из незагруженного оборудования
от 1 до 3	$3,5 \cdot 10^{-4}$	$1,8 \cdot 10^{-4}$	$1,6 \cdot 10^{-4}$	$8,8 \cdot 10^{-6}$
от 3 до 10	$1,5 \cdot 10^{-4}$	$6,8 \cdot 10^{-5}$	$7,4 \cdot 10^{-5}$	$5,5 \cdot 10^{-6}$
от 10 до 50	$6,5 \cdot 10^{-5}$	$2,5 \cdot 10^{-5}$	$3,6 \cdot 10^{-5}$	$3,8 \cdot 10^{-6}$
Всего	$5,7 \cdot 10^{-4}$	$2,8 \cdot 10^{-4}$	$2,7 \cdot 10^{-4}$	$1,8 \cdot 10^{-5}$

Таблица № 21

Частоты утечек из сосудов, работающих под давлением⁷ (на сосуд/год); диаметр от 50 до 150 мм

Диапазон размера отверстия, мм	Все утечки	Утечки из полностью загруженного оборудования	Утечки из частично загруженного оборудования	Утечки из незагруженного оборудования
от 1 до 3	$9,6 \cdot 10^{-4}$	$3,9 \cdot 10^{-4}$	$3,5 \cdot 10^{-4}$	$1,8 \cdot 10^{-4}$
от 3 до 10	$5,6 \cdot 10^{-4}$	$2,0 \cdot 10^{-4}$	$2,0 \cdot 10^{-4}$	$1,4 \cdot 10^{-4}$
от 10 до 50	$3,5 \cdot 10^{-4}$	$1,0 \cdot 10^{-4}$	$1,2 \cdot 10^{-4}$	$1,2 \cdot 10^{-4}$
> 50	$2,8 \cdot 10^{-4}$	$5,1 \cdot 10^{-5}$	$7,9 \cdot 10^{-5}$	$1,8 \cdot 10^{-4}$
Всего	$2,2 \cdot 10^{-3}$	$7,4 \cdot 10^{-4}$	$7,4 \cdot 10^{-4}$	$6,3 \cdot 10^{-4}$

⁶ Включая соединительные муфты трубопроводов малого диаметра, датчики температуры и давления. Учтены сами измерительные приборы и их 2 клапана, 4 фланца, 1 штуцер и соединительные трубы малого диаметра (обычно 25 мм и менее).

⁷ Морские: включая все типы сосудов, работающих под давлением (горизонтальные/вертикальные абсорбера, ребойлер, скруббер, сепаратор, стабилизатор), но не гидроциклоны. Береговые: резервуары основных технологических процессов и ректификационные колонны, но не емкости хранения. Учтены сами резервуары и их трубопроводная обвязка, фланцы, измерительные приборы и штуцеры за первым фланцем, за исключением первого фланца.

Таблица № 22

**Частоты утечек из сосудов, работающих под давлением⁷
(на сосуд/год); диаметр > 150 мм**

Диапазон размера отверстия, мм	Все утечки	Утечки из полностью загруженного оборудования	Утечки из частично загруженного оборудования	Утечки из незагруженного оборудования
от 1 до 3	$9,6 \cdot 10^{-4}$	$3,9 \cdot 10^{-4}$	$3,5 \cdot 10^{-4}$	$1,8 \cdot 10^{-4}$
от 3 до 10	$5,6 \cdot 10^{-4}$	$2,0 \cdot 10^{-4}$	$2,0 \cdot 10^{-4}$	$1,4 \cdot 10^{-4}$
от 10 до 50	$3,5 \cdot 10^{-4}$	$1,0 \cdot 10^{-4}$	$1,2 \cdot 10^{-4}$	$1,2 \cdot 10^{-4}$
от 50 до 150	$1,1 \cdot 10^{-4}$	$2,7 \cdot 10^{-5}$	$3,7 \cdot 10^{-5}$	$5,5 \cdot 10^{-5}$
> 150	$1,7 \cdot 10^{-4}$	$2,4 \cdot 10^{-5}$	$4,2 \cdot 10^{-5}$	$1,4 \cdot 10^{-4}$
Всего	$2,2 \cdot 10^{-3}$	$7,4 \cdot 10^{-4}$	$7,4 \cdot 10^{-4}$	$6,3 \cdot 10^{-4}$

Таблица № 23

**Частоты утечек из центробежных насосов⁸ (на насос/год);
диаметр входного отверстия от 50 до 150 мм**

Диапазон размера отверстия, мм	Все утечки	Утечки из полностью загруженного оборудования	Утечки из частично загруженного оборудования	Утечки из незагруженного оборудования
от 1 до 3	$5,1 \cdot 10^{-3}$	$3,4 \cdot 10^{-3}$	$1,3 \cdot 10^{-3}$	$2,4 \cdot 10^{-4}$
от 3 до 10	$1,8 \cdot 10^{-3}$	$1,0 \cdot 10^{-3}$	$5,6 \cdot 10^{-4}$	$1,4 \cdot 10^{-4}$
от 10 до 50	$5,9 \cdot 10^{-4}$	$2,9 \cdot 10^{-4}$	$2,4 \cdot 10^{-4}$	$9,4 \cdot 10^{-5}$
> 50	$1,4 \cdot 10^{-4}$	$5,4 \cdot 10^{-5}$	$8,3 \cdot 10^{-5}$	$7,2 \cdot 10^{-5}$
Всего	$7,6 \cdot 10^{-3}$	$4,8 \cdot 10^{-3}$	$2,2 \cdot 10^{-3}$	$5,5 \cdot 10^{-4}$

⁸ Центробежные насосы разных типов. Учтены сами насосы, за исключением всех присоединенных клапанов, трубопроводной обвязки, фланцев, измерительных инструментов и штуцеров после первого фланца; первый фланец также не учтен.

Таблица № 24

**Частоты утечек из центробежных насосов⁸ (на насос/год);
диаметр входного отверстия > 150 мм**

Диапазон размера отверстия, мм	Все утечки	Утечки из полностью загруженного оборудования	Утечки из частично загруженного оборудования	Утечки из незагруженного оборудования
от 1 до 3	$5,1 \cdot 10^{-3}$	$3,4 \cdot 10^{-3}$	$1,3 \cdot 10^{-3}$	$2,4 \cdot 10^{-4}$
от 3 до 10	$1,8 \cdot 10^{-3}$	$1,0 \cdot 10^{-3}$	$5,6 \cdot 10^{-4}$	$1,4 \cdot 10^{-4}$
от 10 до 50	$5,9 \cdot 10^{-4}$	$2,9 \cdot 10^{-4}$	$2,4 \cdot 10^{-4}$	$9,4 \cdot 10^{-5}$
от 50 до 150	$9,7 \cdot 10^{-5}$	$3,9 \cdot 10^{-5}$	$5,0 \cdot 10^{-5}$	$3,1 \cdot 10^{-5}$
> 150	$4,8 \cdot 10^{-5}$	$1,5 \cdot 10^{-5}$	$3,3 \cdot 10^{-5}$	$4,1 \cdot 10^{-5}$
Всего	$7,6 \cdot 10^{-3}$	$4,8 \cdot 10^{-3}$	$2,2 \cdot 10^{-3}$	$5,5 \cdot 10^{-4}$

Таблица № 25

**Частоты утечек из плунжерных насосов⁹ (на насос/год);
диаметр входного отверстия от 50 до 150 мм**

Диапазон размера отверстия, мм	Все утечки	Утечки из полностью загруженного оборудования	Утечки из частично загруженного оборудования	Утечки из незагруженного оборудования
от 1 до 3	$3,3 \cdot 10^{-3}$	$2,1 \cdot 10^{-3}$	$8,9 \cdot 10^{-4}$	0,00
от 3 до 10	$1,9 \cdot 10^{-3}$	$1,2 \cdot 10^{-3}$	$6,2 \cdot 10^{-4}$	0,00
от 10 до 50	$1,2 \cdot 10^{-3}$	$7,4 \cdot 10^{-4}$	$4,7 \cdot 10^{-4}$	0,00
> 50	$8,0 \cdot 10^{-4}$	$5,0 \cdot 10^{-4}$	$5,3 \cdot 10^{-4}$	0,00
Всего	$7,2 \cdot 10^{-3}$	$4,5 \cdot 10^{-3}$	$2,5 \cdot 10^{-3}$	0,00

⁸ Плунжерные насосы разных типов. Учтены сами насосы, за исключением всех присоединенных клапанов, трубопроводной обвязки, фланцев, измерительных инструментов и штуцеров после первого фланца; первый фланец также не учтен.

Таблица № 26

**Частоты утечек из плунжерных насосов⁹ (на насос/год);
диаметр входного отверстия > 150 мм**

Диапазон размера отверстия, мм	Все утечки	Утечки из полностью загруженного оборудования	Утечки из частично загруженного оборудования	Утечки из незагруженного оборудования
от 1 до 3	$3,3 \cdot 10^{-3}$	$2,1 \cdot 10^{-3}$	$8,9 \cdot 10^{-4}$	0,00
от 3 до 10	$1,9 \cdot 10^{-3}$	$1,2 \cdot 10^{-3}$	$6,2 \cdot 10^{-4}$	0,00
от 10 до 50	$1,2 \cdot 10^{-3}$	$7,4 \cdot 10^{-4}$	$4,7 \cdot 10^{-4}$	0,00
от 50 до 150	$3,7 \cdot 10^{-4}$	$2,3 \cdot 10^{-4}$	$1,9 \cdot 10^{-4}$	0,00
> 150	$4,3 \cdot 10^{-4}$	$2,7 \cdot 10^{-4}$	$3,4 \cdot 10^{-4}$	0,00
Всего	$7,2 \cdot 10^{-3}$	$4,5 \cdot 10^{-3}$	$2,5 \cdot 10^{-3}$	0,00

Таблица № 27

**Частоты утечек из центробежных компрессоров¹⁰ (на компрессор/год);
диаметр входного отверстия от 50 до 150 мм**

Диапазон размера отверстия, мм	Все утечки	Утечки из полностью загруженного оборудования	Утечки из частично загруженного оборудования	Утечки из незагруженного оборудования
от 1 до 3	$6,7 \cdot 10^{-3}$	$3,4 \cdot 10^{-3}$	$2,9 \cdot 10^{-3}$	$3,7 \cdot 10^{-4}$
от 3 до 10	$2,6 \cdot 10^{-3}$	$6,8 \cdot 10^{-4}$	$1,4 \cdot 10^{-3}$	$2,4 \cdot 10^{-4}$
от 10 до 50	$1,0 \cdot 10^{-3}$	$1,3 \cdot 10^{-4}$	$7,4 \cdot 10^{-4}$	$1,8 \cdot 10^{-4}$
> 50	$3,0 \cdot 10^{-4}$	$1,3 \cdot 10^{-5}$	$3,5 \cdot 10^{-4}$	$1,8 \cdot 10^{-4}$
Всего	$1,1 \cdot 10^{-2}$	$4,2 \cdot 10^{-3}$	$5,5 \cdot 10^{-3}$	$9,6 \cdot 10^{-4}$

¹⁰ Включая сами компрессоры, за исключением всех присоединенных клапанов, трубопроводной обвязки, фланцев, измерительных инструментов и штуцеров после первого фланца; первый фланец также не учтен.

Таблица № 28

**Частоты утечек из центробежных компрессоров¹⁰(на компрессор/год);
диаметр входного отверстия > 150 мм**

Диапазон размера отверстия, мм	Все утечки	Утечки из полностью загруженного оборудования	Утечки из частично загруженного оборудования	Утечки из незагруженного оборудования
от 1 до 3	$6,7 \cdot 10^{-3}$	$3,4 \cdot 10^{-3}$	$2,9 \cdot 10^{-3}$	$3,7 \cdot 10^{-4}$
от 3 до 10	$2,6 \cdot 10^{-3}$	$6,8 \cdot 10^{-4}$	$1,4 \cdot 10^{-3}$	$2,4 \cdot 10^{-4}$
от 10 до 50	$1,0 \cdot 10^{-3}$	$1,3 \cdot 10^{-4}$	$7,4 \cdot 10^{-4}$	$1,8 \cdot 10^{-4}$
от 50 до 150	$1,9 \cdot 10^{-4}$	$1,0 \cdot 10^{-5}$	$1,9 \cdot 10^{-4}$	$6,7 \cdot 10^{-5}$
> 150	$1,1 \cdot 10^{-4}$	$2,5 \cdot 10^{-6}$	$1,6 \cdot 10^{-4}$	$1,1 \cdot 10^{-4}$
Всего	$1,1 \cdot 10^{-2}$	$4,2 \cdot 10^{-3}$	$5,5 \cdot 10^{-3}$	$9,6 \cdot 10^{-4}$

Таблица № 29

**Частоты утечек из поршневых компрессоров¹¹(на компрессор/год);
диаметр входного отверстия от 50 до 150 мм**

Диапазон размера отверстия, мм	Все утечки	Утечки из полностью загруженного оборудования	Утечки из частично загруженного оборудования	Утечки из незагруженного оборудования
от 1 до 3	$4,5 \cdot 10^{-2}$	$2,4 \cdot 10^{-2}$	$1,9 \cdot 10^{-2}$	0,00
от 3 до 10	$1,7 \cdot 10^{-2}$	$8,0 \cdot 10^{-3}$	$9,4 \cdot 10^{-3}$	0,00
от 10 до 50	$6,7 \cdot 10^{-3}$	$2,6 \cdot 10^{-3}$	$4,7 \cdot 10^{-3}$	0,00
> 50	$2,0 \cdot 10^{-3}$	$8,8 \cdot 10^{-4}$	$2,2 \cdot 10^{-3}$	0,00
Всего	$7,1 \cdot 10^{-2}$	$3,6 \cdot 10^{-2}$	$3,6 \cdot 10^{-2}$	0,00

¹¹ Включая сами компрессоры, за исключением всех присоединенных клапанов, трубопроводной обвязки, фланцев, измерительных инструментов и штуцеров после первого фланца; первый фланец также не учтен.

Таблица № 30

**Частоты утечек из поршневых компрессоров¹¹ (на компрессор/год);
диаметр входного отверстия > 150 мм**

Диапазон размера отверстия, мм	Все утечки	Утечки из полностью загруженного оборудования	Утечки из частично загруженного оборудования	Утечки из незагруженного оборудования
от 1 до 3	$4,5 \cdot 10^{-2}$	$2,4 \cdot 10^{-2}$	$1,9 \cdot 10^{-2}$	0,00
от 3 до 10	$1,7 \cdot 10^{-2}$	$8,0 \cdot 10^{-3}$	$9,4 \cdot 10^{-3}$	0,00
от 10 до 50	$6,7 \cdot 10^{-3}$	$2,6 \cdot 10^{-3}$	$4,7 \cdot 10^{-3}$	0,00
от 50 до 150	$1,3 \cdot 10^{-3}$	$4,0 \cdot 10^{-4}$	$1,2 \cdot 10^{-3}$	0,00
> 150	$7,3 \cdot 10^{-4}$	$4,8 \cdot 10^{-4}$	$1,0 \cdot 10^{-3}$	0,00
Всего	$7,1 \cdot 10^{-2}$	$3,6 \cdot 10^{-2}$	$3,6 \cdot 10^{-2}$	0,00

Таблица № 31

Частоты утечек из кожухотрубчатых теплообменников¹² (на теплообменник/год); диаметр входного отверстия от 50 до 150 мм

Диапазон размера отверстия, мм	Все утечки	Утечки из полностью загруженного оборудования	Утечки из частично загруженного оборудования	Утечки из незагруженного оборудования
от 1 до 3	$2,2 \cdot 10^{-3}$	$1,2 \cdot 10^{-3}$	$1,2 \cdot 10^{-3}$	0,00
от 3 до 10	$1,1 \cdot 10^{-3}$	$4,1 \cdot 10^{-4}$	$7,3 \cdot 10^{-4}$	0,00
от 10 до 50	$5,6 \cdot 10^{-4}$	$1,4 \cdot 10^{-4}$	$4,9 \cdot 10^{-4}$	0,00
> 50	$2,6 \cdot 10^{-4}$	$3,6 \cdot 10^{-5}$	$4,0 \cdot 10^{-4}$	0,00
Всего	$4,1 \cdot 10^{-3}$	$1,8 \cdot 10^{-3}$	$2,8 \cdot 10^{-3}$	0,00

¹² Включая сами кожухотрубчатые теплообменники для углеводородов, за исключением всех присоединенных клапанов, трубопроводной обвязки, фланцев, измерительных инструментов и штуцеров после первого фланца; первый фланец также не учтен.

Таблица № 32

**Частоты утечек из кожухотрубчатых теплообменников¹²
(на теплообменник/год); диаметр входного отверстия > 150 мм**

Диапазон размера отверстия, мм	Все утечки	Утечки из полностью загруженного оборудования	Утечки из частично загруженного оборудования	Утечки из незагруженного оборудования
от 1 до 3	$2,2 \cdot 10^{-3}$	$1,2 \cdot 10^{-3}$	$1,2 \cdot 10^{-3}$	0,00
от 3 до 10	$1,1 \cdot 10^{-3}$	$4,1 \cdot 10^{-4}$	$7,3 \cdot 10^{-4}$	0,00
от 10 до 50	$5,6 \cdot 10^{-4}$	$1,4 \cdot 10^{-4}$	$4,9 \cdot 10^{-4}$	0,00
от 50 до 150	$1,4 \cdot 10^{-4}$	$2,4 \cdot 10^{-5}$	$1,7 \cdot 10^{-4}$	0,00
> 150	$1,2 \cdot 10^{-4}$	$1,2 \cdot 10^{-5}$	$2,3 \cdot 10^{-4}$	0,00
Всего	$4,1 \cdot 10^{-3}$	$1,8 \cdot 10^{-3}$	$2,8 \cdot 10^{-3}$	0,00

Таблица № 33

**Частоты утечек из кожухотрубчатых теплообменников¹³
(на теплообменник/год); диаметр входного отверстия от 50 до 150 мм**

Диапазон размера отверстия, мм	Все утечки	Утечки из полностью загруженного оборудования	Утечки из частично загруженного оборудования	Утечки из незагруженного оборудования
от 1 до 3	$2,0 \cdot 10^{-3}$	$8,2 \cdot 10^{-4}$	$7,9 \cdot 10^{-4}$	$1,8 \cdot 10^{-4}$
от 3 до 10	$8,8 \cdot 10^{-4}$	$3,8 \cdot 10^{-4}$	$4,3 \cdot 10^{-4}$	$7,7 \cdot 10^{-5}$
от 10 до 50	$4,0 \cdot 10^{-4}$	$1,8 \cdot 10^{-4}$	$2,5 \cdot 10^{-4}$	$3,4 \cdot 10^{-5}$
> 50	$2,0 \cdot 10^{-4}$	$7,6 \cdot 10^{-5}$	$1,9 \cdot 10^{-4}$	$1,3 \cdot 10^{-5}$
Всего	$3,4 \cdot 10^{-3}$	$1,5 \cdot 10^{-3}$	$1,7 \cdot 10^{-3}$	$3,0 \cdot 10^{-4}$

¹³ Включая сами кожухотрубчатые теплообменники для углеводородов, за исключением всех присоединенных клапанов, трубопроводной обвязки, фланцев, измерительных инструментов и штуцеров после первого фланца; первый фланец также не учтен.

Таблица № 34

**Частоты утечек из кожухотрубчатых теплообменников¹³
(на теплообменник/год); диаметр входного отверстия > 150 мм**

Диапазон размера отверстия, мм	Все утечки	Утечки из полностью загруженного оборудования	Утечки из частично загруженного оборудования	Утечки из незагруженного оборудования
от 1 до 3	$2,0 \cdot 10^{-3}$	$8,2 \cdot 10^{-4}$	$7,9 \cdot 10^{-4}$	$1,8 \cdot 10^{-4}$
от 3 до 10	$8,8 \cdot 10^{-4}$	$3,8 \cdot 10^{-4}$	$4,3 \cdot 10^{-4}$	$7,7 \cdot 10^{-5}$
от 10 до 50	$4,0 \cdot 10^{-4}$	$1,8 \cdot 10^{-4}$	$2,5 \cdot 10^{-4}$	$3,4 \cdot 10^{-5}$
от 50 до 150	$9,1 \cdot 10^{-5}$	$4,3 \cdot 10^{-5}$	$7,4 \cdot 10^{-5}$	$7,7 \cdot 10^{-6}$
> 150	$1,1 \cdot 10^{-4}$	$3,3 \cdot 10^{-5}$	$1,2 \cdot 10^{-4}$	$5,4 \cdot 10^{-6}$
Всего	$3,4 \cdot 10^{-3}$	$1,5 \cdot 10^{-3}$	$1,7 \cdot 10^{-3}$	$3,0 \cdot 10^{-4}$

Таблица № 35

**Частоты утечек из пластинчатых теплообменников¹⁴
(на теплообменник/год); диаметр входного отверстия от 50 до 150 мм**

Диапазон размера отверстия, мм	Все утечки	Утечки из полностью загруженного оборудования	Утечки из частично загруженного оборудования	Утечки из незагруженного оборудования
от 1 до 3	$5,1 \cdot 10^{-3}$	$3,9 \cdot 10^{-3}$	$2,7 \cdot 10^{-3}$	0,00
от 3 до 10	$2,8 \cdot 10^{-3}$	$2,0 \cdot 10^{-3}$	$1,3 \cdot 10^{-3}$	0,00
от 10 до 50	$1,6 \cdot 10^{-3}$	$1,1 \cdot 10^{-3}$	$6,7 \cdot 10^{-4}$	0,00
> 50	$9,9 \cdot 10^{-4}$	$6,3 \cdot 10^{-4}$	$3,2 \cdot 10^{-4}$	0,00
Всего	$1,0 \cdot 10^{-2}$	$7,3 \cdot 10^{-3}$	$5,0 \cdot 10^{-3}$	0,00

¹⁴ Включая сами теплообменники, за исключением всех присоединенных клапанов, трубопроводной обвязки, фланцев, измерительных инструментов и штуцеров после первого фланца; первый фланец также не учтен.

Таблица № 36

**Частоты утечек из пластинчатых теплообменников¹⁴
(на теплообменник/год); диаметр входного отверстия > 150 мм**

Диапазон размера отверстия, мм	Все утечки	Утечки из полностью загруженного оборудования	Утечки из частично загруженного оборудования	Утечки из незагруженного оборудования
от 1 до 3	$5,1 \cdot 10^{-3}$	$3,9 \cdot 10^{-3}$	$2,7 \cdot 10^{-3}$	0,00
от 3 до 10	$2,8 \cdot 10^{-3}$	$2,0 \cdot 10^{-3}$	$1,3 \cdot 10^{-3}$	0,00
от 10 до 50	$1,6 \cdot 10^{-3}$	$1,1 \cdot 10^{-3}$	$6,7 \cdot 10^{-4}$	0,00
от 50 до 150	$4,8 \cdot 10^{-4}$	$3,2 \cdot 10^{-4}$	$1,7 \cdot 10^{-4}$	0,00
> 150	$5,1 \cdot 10^{-4}$	$3,1 \cdot 10^{-4}$	$1,5 \cdot 10^{-4}$	0,00
Всего	$1,0 \cdot 10^{-2}$	$7,3 \cdot 10^{-3}$	$5,0 \cdot 10^{-3}$	0,00

Таблица № 37

**Частоты утечек из теплообменников с воздушным охлаждением¹⁵
(на теплообменник/год); диаметр входного отверстия от 50 до 150 мм**

Диапазон размера отверстия, мм	Все утечки	Утечки из полностью загруженного оборудования	Утечки из частично загруженного оборудования	Утечки из незагруженного оборудования
от 1 до 3	$1,0 \cdot 10^{-3}$	$1,0 \cdot 10^{-3}$	0,00	0,00
от 3 до 10	$4,9 \cdot 10^{-4}$	$4,9 \cdot 10^{-4}$	0,00	0,00
от 10 до 50	$2,4 \cdot 10^{-4}$	$2,4 \cdot 10^{-4}$	0,00	0,00
> 50	$1,1 \cdot 10^{-4}$	$1,1 \cdot 10^{-4}$	0,00	0,00
Всего	$1,0 \cdot 10^{-3}$	$1,0 \cdot 10^{-3}$	0,00	0,00

¹⁵ Часто относят вентиляторы, но в принципе включают все типы теплообменников с воздушным охлаждением, включая сами теплообменники, за исключением всех присоединенных клапанов, трубопроводной обвязки, фланцев, измерительных инструментов и штуцеров после первого фланца; первый фланец также не учтен.

Таблица № 38

**Частоты утечек из теплообменников с воздушным охлаждением¹⁵
(на теплообменник/год); диаметр входного отверстия > 150 мм**

Диапазон размера отверстия, мм	Все утечки	Утечки из полностью загруженного оборудования	Утечки из частично загруженного оборудования	Утечки из незагруженного оборудования
от 1 до 3	$1,0 \cdot 10^{-3}$	$1,0 \cdot 10^{-3}$	0,00	0,00
от 3 до 10	$4,9 \cdot 10^{-4}$	$4,9 \cdot 10^{-4}$	0,00	0,00
от 10 до 50	$2,4 \cdot 10^{-4}$	$2,4 \cdot 10^{-4}$	0,00	0,00
от 50 до 150	$6,0 \cdot 10^{-5}$	$6,0 \cdot 10^{-5}$	0,00	0,00
> 150	$4,9 \cdot 10^{-5}$	$4,9 \cdot 10^{-5}$	0,00	0,00
Всего	$1,0 \cdot 10^{-3}$	$1,0 \cdot 10^{-3}$	0,00	0,00

Таблица № 39

**Частоты утечек из фильтров¹⁶ (на фильтр/год);
диаметр входного отверстия от 50 до 150 мм**

Диапазон размера отверстия, мм	Все утечки	Утечки из полностью загруженного оборудования	Утечки из частично загруженного оборудования	Утечки из незагруженного оборудования
от 1 до 3	$2,0 \cdot 10^{-3}$	$1,3 \cdot 10^{-3}$	$5,1 \cdot 10^{-4}$	$1,3 \cdot 10^{-4}$
от 3 до 10	$1,0 \cdot 10^{-3}$	$5,1 \cdot 10^{-4}$	$3,3 \cdot 10^{-4}$	$9,3 \cdot 10^{-5}$
от 10 до 50	$5,2 \cdot 10^{-4}$	$1,9 \cdot 10^{-4}$	$2,3 \cdot 10^{-4}$	$7,7 \cdot 10^{-5}$
> 50	$2,6 \cdot 10^{-4}$	$5,5 \cdot 10^{-5}$	$2,1 \cdot 10^{-4}$	$1,0 \cdot 10^{-4}$
Всего	$3,8 \cdot 10^{-3}$	$2,1 \cdot 10^{-3}$	$1,3 \cdot 10^{-3}$	$4,0 \cdot 10^{-4}$

¹⁶ Включая само тело фильтра и выпускное отверстие или отверстие для осмотра, за исключением всех присоединенных клапанов, трубопроводной обвязки, фланцев, измерительных инструментов и штуцеров после первого фланца; первый фланец также не учтен.

Таблица № 40

**Частоты утечек из фильтров¹⁶ (на фильтр/год);
диаметр входного отверстия > 150 мм**

Диапазон размера отверстия, мм	Все утечки	Утечки из полностью загруженного оборудования	Утечки из частично загруженного оборудования	Утечки из незагруженного оборудования
от 1 до 3	$2,0 \cdot 10^{-3}$	$1,3 \cdot 10^{-3}$	$5,1 \cdot 10^{-4}$	$1,3 \cdot 10^{-4}$
от 3 до 10	$1,0 \cdot 10^{-3}$	$5,1 \cdot 10^{-4}$	$3,3 \cdot 10^{-4}$	$9,3 \cdot 10^{-5}$
от 10 до 50	$5,2 \cdot 10^{-4}$	$1,9 \cdot 10^{-4}$	$2,3 \cdot 10^{-4}$	$7,7 \cdot 10^{-5}$
от 50 до 150	$1,4 \cdot 10^{-4}$	$3,5 \cdot 10^{-5}$	$8,4 \cdot 10^{-5}$	$3,3 \cdot 10^{-5}$
> 150	$1,2 \cdot 10^{-4}$	$2,0 \cdot 10^{-5}$	$1,3 \cdot 10^{-4}$	$7,2 \cdot 10^{-5}$
Всего	$3,8 \cdot 10^{-3}$	$2,1 \cdot 10^{-3}$	$1,3 \cdot 10^{-3}$	$4,0 \cdot 10^{-4}$

Таблица № 41

**Частоты утечек из ловушек для скребков¹⁷ (на ловушку/год);
диаметр входного отверстия от 50 до 150 мм**

Диапазон размера отверстия, мм	Все утечки	Утечки из полностью загруженного оборудования	Утечки из частично загруженного оборудования	Утечки из незагруженного оборудования
от 1 до 3	$3,2 \cdot 10^{-3}$	$2,3 \cdot 10^{-3}$	$7,4 \cdot 10^{-4}$	$2,7 \cdot 10^{-4}$
от 3 до 10	$1,9 \cdot 10^{-3}$	$7,2 \cdot 10^{-4}$	$5,6 \cdot 10^{-4}$	$2,3 \cdot 10^{-4}$
от 10 до 50	$1,2 \cdot 10^{-3}$	$2,2 \cdot 10^{-4}$	$4,8 \cdot 10^{-4}$	$2,3 \cdot 10^{-4}$
> 50	$8,3 \cdot 10^{-4}$	$4,7 \cdot 10^{-5}$	$7,1 \cdot 10^{-4}$	$5,2 \cdot 10^{-4}$
Всего	$7,0 \cdot 10^{-3}$	$3,3 \cdot 10^{-3}$	$2,5 \cdot 10^{-3}$	$1,3 \cdot 10^{-3}$

¹⁷ Для запуска и приема скребка, включая саму ловушку, за исключением всех присоединенных клапанов, трубопроводной обвязки, фланцев, измерительных инструментов и штуцеров после первого фланца; первый фланец также не учтен.

Таблица № 42

**Частоты утечек из ловушек для скребков¹⁷ (на ловушку/год);
диаметр входного отверстия > 150 мм**

Диапазон размера отверстия, мм	Все утечки	Утечки из полностью загруженного оборудования	Утечки из частично загруженного оборудования	Утечки из незагруженного оборудования
от 1 до 3	$3,2 \cdot 10^{-3}$	$2,3 \cdot 10^{-3}$	$7,4 \cdot 10^{-4}$	$2,7 \cdot 10^{-4}$
от 3 до 10	$1,9 \cdot 10^{-3}$	$7,2 \cdot 10^{-4}$	$5,6 \cdot 10^{-4}$	$2,3 \cdot 10^{-4}$
от 10 до 50	$1,2 \cdot 10^{-3}$	$2,2 \cdot 10^{-4}$	$4,8 \cdot 10^{-4}$	$2,3 \cdot 10^{-4}$
от 50 до 150	$3,7 \cdot 10^{-4}$	$3,3 \cdot 10^{-5}$	$2,1 \cdot 10^{-4}$	$1,1 \cdot 10^{-4}$
> 150	$4,6 \cdot 10^{-4}$	$1,4 \cdot 10^{-5}$	$5,0 \cdot 10^{-4}$	$4,1 \cdot 10^{-4}$
Всего	$7,0 \cdot 10^{-3}$	$3,3 \cdot 10^{-3}$	$2,5 \cdot 10^{-3}$	$1,3 \cdot 10^{-3}$

Приложение № 7
 к Руководству по безопасности «Методика
 анализа риска аварий на опасных
 производственных объектах морского
 нефтегазового комплекса», утвержденному
 приказом Федеральной службы
 по экологическому, технологическому
 и атомному надзору
 от «10 » февраля 2013 г. № 51

**РЕКОМЕНДУЕМЫЙ ПОРЯДОК РАСЧЕТА ИСТЕЧЕНИЯ
 ВЗРЫВОПОЖАРООПАСНЫХ ЖИДКОСТЕЙ ИЗ МОРСКИХ
 ТРУБОПРОВОДОВ**

В большинстве случаев взрывопожароопасный поток, перекачиваемый по морскому трубопроводу, представляет собой многофазную среду. И если на стадии стационарной перекачки поток во всей трубе с определенным приближением можно считать однородным, то движение, возникающее в трубопроводе с высоким содержанием массовой доли жидкой фазы, после остановки перекачки носит чрезвычайно сложный характер.

Истечение описывается системой уравнений сохранения массы, импульса и энергии газовой и конденсированной фаз, формулы (7-1) – (7-7):

$$\frac{\partial \rho}{\partial t} + \frac{\partial(\rho u)}{\partial x} = S^1; \quad (7-1)$$

$$\frac{\partial(\rho u)}{\partial t} + \frac{\partial(\rho u u)}{\partial x} + \frac{\partial p}{\partial x} = S^2; \quad (7-2)$$

$$\frac{\partial(\rho e)}{\partial t} + \frac{\partial(u(\rho e + p))}{\partial x} = S^3; \quad (7-3)$$

$$\frac{\partial(\sigma_{ji})}{\partial t} + \frac{\partial(\sigma_{ji} u_{ji})}{\partial x} = S^4; \quad (7-4)$$

$$\frac{\partial(\sigma_{ji} u_{ji})}{\partial t} + \frac{\partial(\sigma_{ji} u_{ji} u_{ji})}{\partial x} = S^5; \quad (7-5)$$

$$\frac{\partial(\sigma_{ji}e_{ji})}{\partial t} + \frac{\partial(\sigma_{ji}e_{ji}u_{ji})}{\partial x} = S^6; \quad (7-6)$$

$$\frac{\partial(n_{ji})}{\partial t} + \frac{\partial(n_{ji}u_{ji})}{\partial x} = S^7, \quad (7-7)$$

где: x – координата по пространству (вдоль трассы трубопровода), м;

t – время, с;

ρ – плотность смеси, кг/м³;

u – компонент вектора скорости газовой смеси в направлении x , м/с;

e – полная удельная энергия газовой смеси, Дж/кг;

ρ_f – плотность газовой фазы, кг/м³;

σ_{ji} – плотность i -й фракции жидкой фазы, кг/м³;

u_{ji} – компонент вектора скорости i -й фракции жидкой фазы в направлении x , м/с;

e_{ji} – полная удельная энергия i -й фракции жидкой фазы, Дж/кг;

n_{ji} – концентрация частиц i -й фракции жидкой фазы, м⁻³;

p – давление, Па;

S_j – члены уравнений, учитывающих потери на трение на стенках, теплообмен трубопровода с окружающей средой, обмен импульсом, энергией между фазами.

После остановки перекачки происходит расслоение потока: в нижних точках трассы (карманах) оседает жидккая фаза, в верхних точках собирается газовая фаза (подушки). За счет разницы давлений по трассе будет происходить передавливание жидкой фазы из одного кармана в другой, прорыв газа из одной подушки в другую. Поэтому на подводных трубопроводах после остановки перекачки возможен выброс значительной массы транспортируемого продукта. Дополнительно это обусловлено тем, что на подводных трубопроводах невозможно оперативно ликвидировать утечку, так как задвижек на подводных участках трубопровода нет, и аварийные

участки могут иметь значительную протяженность.

Таким образом, расчет массы выброса строится на уравнениях гидрогазодинамики истечения многофазной продукции не только с учетом времени обнаружения утечки и остановки насосов (компрессоров), но и принимая во внимание необходимость учета расслоения фаз при самотечном режиме истечения вещества из дефектного отверстия.

Общая масса аварийного выброса углеводородов $M_{уг}$ в данном случае может рассматриваться как сумма масс углеводородов, выброшенных до и после остановки перекачки (формула (7-8)).

$$M_{уг} = M_{уг\text{ напор}} + M_{уг\text{ сам}}, \quad (7-8)$$

где: $M_{уг}$ – общая масса выброшенных углеводородов, кг;

$M_{уг\text{ напор}}$ – общая масса углеводородов, выброшенных в напорном режиме (до остановки перекачки), кг;

$M_{уг\text{ сам}}$ – общая масса углеводородов, выброшенных в самотечном режиме (после остановки перекачки), кг.

Масса выброса до остановки перекачки (напорный режим) определяется исходя из массового расхода в номинальном режиме и времени до остановки перекачки, а также исходя из размера разрушения.

Для стадии самотечного режима истечения в ситуации, когда движение в трубопроводе отличается высокой неоднородностью (расслоением) и существенными перепадами давления, наиболее оптимальным подходом к определению массы выброшенных углеводородов (как в жидкой, так и газообразной фазе) является подход, основанный на определении оставшейся в трубе массы углеводородов. Масса же выброшенных углеводородов после остановки перекачки будет определяться как разница масс, находившаяся изначально и оставшаяся в трубопроводе.

Для расчета массы углеводородов в трубопроводе после окончания выброса предложен подход, при котором конечное состояние рассматривается как механически равновесное: давление в нижних точках трубопровода уравновешивается давлениями в прилегающих столбах жидкости в сумме

с давлением газовых подушек (рисунок 1 настоящего приложения, формула (7-9)).

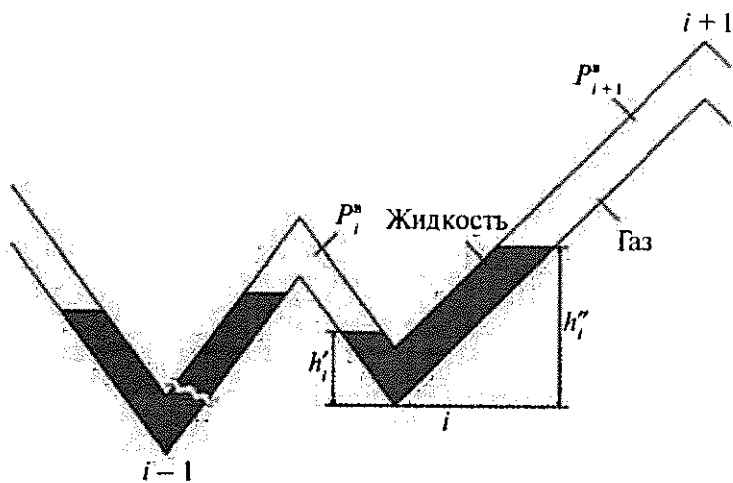


Рис. 1. Схема распределения углеводородов в трубопроводе после окончания выброса

$$P_i^b + \rho \cdot g \cdot h'_i = P_{i+1}^b + \rho \cdot g \cdot h''_i, \quad (7-9)$$

где: P_i^b , P_{i+1}^b – давление газообразных углеводородов в локальном максимуме (верхней точке) профиля трубопровода;

h'_i , h''_i – высоты столбов жидкости в участках, прилегающих к i -му локальному минимуму (нижней точке);

ρ – плотность жидкой фракции, кг/м³;

g – ускорение свободного падения, м/с².

Такое условие должно выполняться в каждом локальном минимуме на трассе трубопровода. На месте аварии должно учитываться противодавление воды.

Результаты расчета масс утечек могут быть представлены в виде диаграмм, как приведено на рисунках 2 – 5 настоящего приложения.

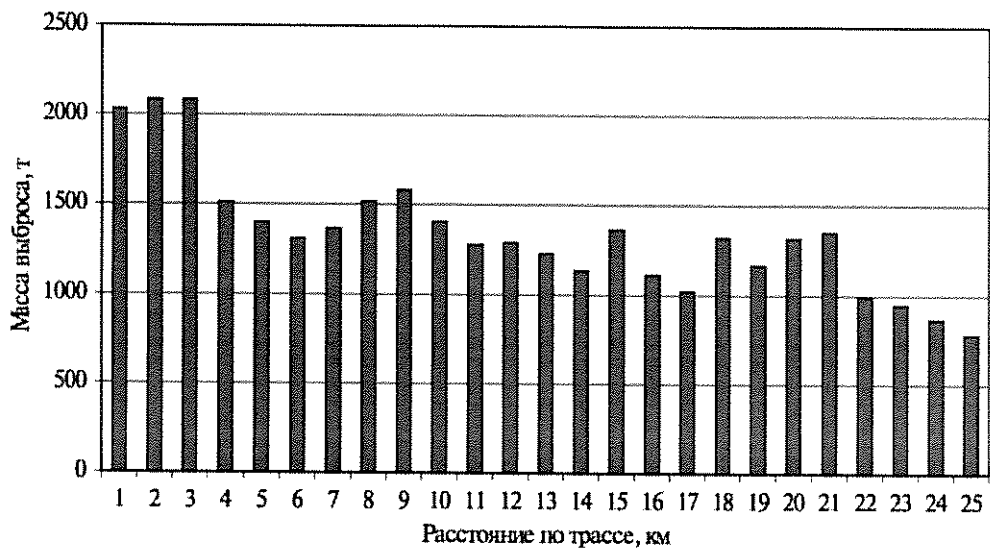


Рис. 2. Распределение массы утечек по трассе (жидкость) при гильотинном разрыве трубопровода (осреднено в пределах 1 км)

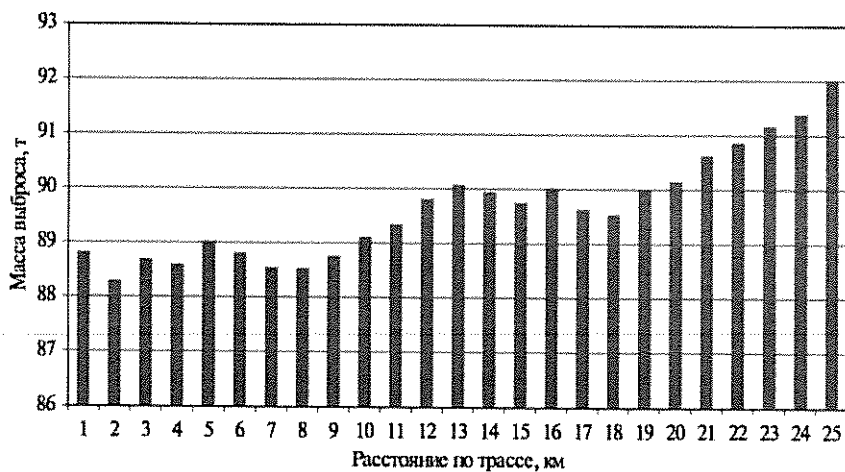


Рис. 3. Распределение массы утечек по трассе (газ) при гильотинном разрыве трубопровода (осреднено в пределах 1 км)

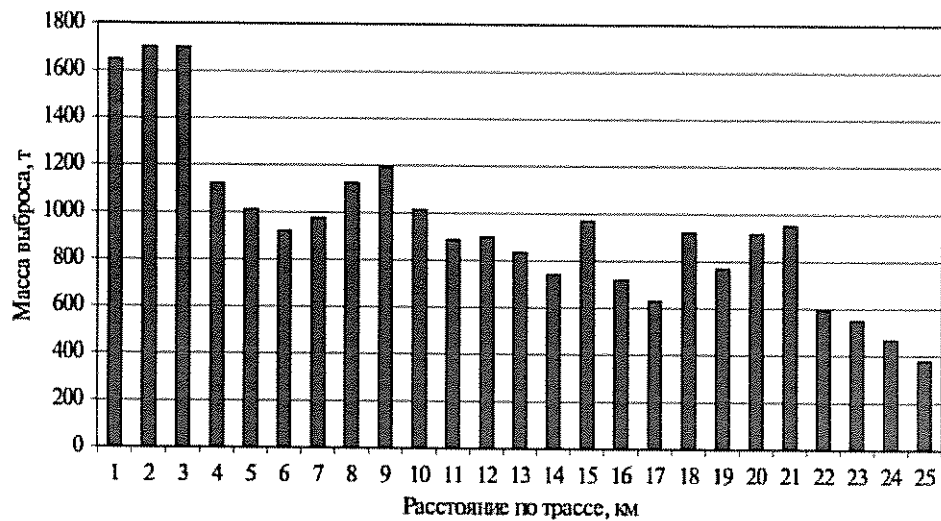


Рис. 4. Распределение массы утечек по трассе (жидкость) при свище на трубопроводе (осреднено в пределах 1 км)

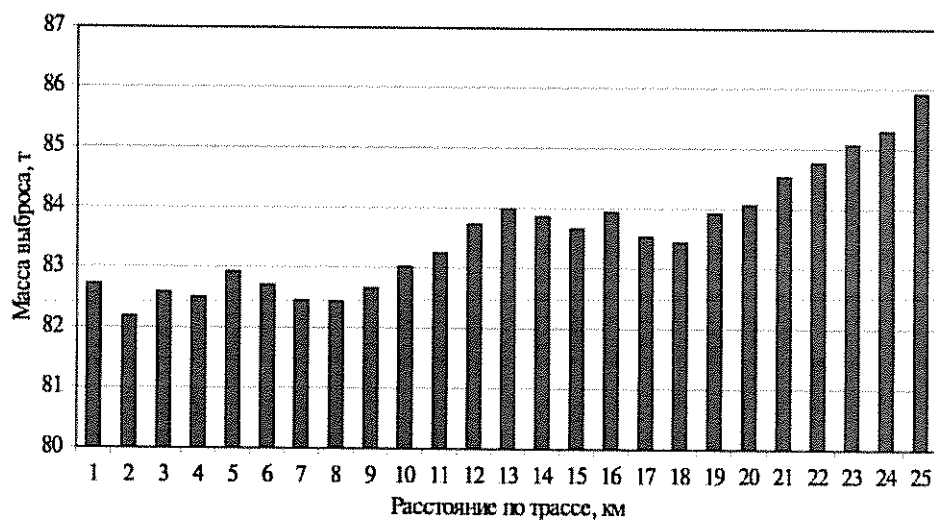


Рис. 5. Распределение массы утечек по трассе (газ) при свище на трубопроводе (осреднено в пределах 1 км)

Приложение № 8
 к Руководству по безопасности «Методика
 анализа риска аварий на опасных
 производственных объектах морского
 нефтегазового комплекса», утвержденному
 приказом Федеральной службы
 по экологическому, технологическому
 и атомному надзору
 от «10» февраля 2023 г. № 51

РАСПРОСТРАНЕНИЕ ЗАГРЯЗНЯЮЩИХ ВЕЩЕСТВ

Прогнозирование возможного распространения загрязняющих или опасных веществ в водном пространстве должно выполняться с учетом региональных особенностей (например, географических, гидрометеорологических, экологических) и дислокации источников загрязнения.

Целью прогнозирования является определение возможных масштабов распространения загрязняющих или опасных веществ, степени их негативного влияния на население и объекты его жизнеобеспечения, на объекты производственной и социальной сферы, а также на объекты окружающей природной среды границ районов повышенной опасности.

Прогнозирование последствий аварий и обусловленных ими вторичных чрезвычайных ситуаций осуществляется относительно последствий максимально возможных аварий на основании оценки риска с учетом неблагоприятных гидрометеорологических условий, времени года, суток, экологических особенностей и характера использования акваторий.

При поступлении загрязняющих и (или) опасных веществ в морскую среду применяются различные методы прогноза возможного их распространения. Рекомендуется различать вещества, образующие пленочные (поверхностные) загрязнения и в основном перемещающиеся по водной поверхности благодаря ветру, волнам и течениям, и вещества, которые хорошо растворяются в воде, имеют нейтральную или отрицательную плавучесть.

Приближенную оценку площади загрязненной водной поверхности (в условиях штиля) для разливов нефти и нефтепродуктов рекомендуется производить по формуле (8-1):

$$S_p = V_p / 0,003, \text{ (8-1)}$$

где: V_p – объем разлившейся нефти, попавшей в водные объекты, м³;

S_p – площадь загрязненной водной поверхности, м² (если площадь зеркала водоема $S_b < S_p$, то $S_p = S_b$).

Для получения комплексных результатов прогноза возможных последствий аварийных разливов рекомендуется применять моделирование с использованием сертифицированных компьютерных программ, разработанных на основе действующих нормативных правовых актов. При этом для моделирования распространения загрязнения в морской среде рекомендуется использовать качественные верифицированные гидрометеорологические данные, включая:

скорость и направление приводного ветра для учета ветрового дрейфа поверхностного загрязнения;

скорость и направление поверхностных течений для учета переноса поверхностного загрязнения течениями и учета влияния на процессы растекания и турбулентную деформацию;

скорость и направление течений водной толщи для учета переноса и размешивания растворенных веществ (или веществ с нейтральной или отрицательной плавучестью);

температуру и плотность воды для определения физико-химических характеристик вещества в морской среде;

параметры волнения для расчета характеристик естественного диспергирования и эмульгирования;

сплоченность льда и характерную толщину льдин (в случае аварий в ледовых условиях).

Приложение № 9
 к Руководству по безопасности «Методика
 анализа риска аварий на опасных
 производственных объектах морского
 нефтегазового комплекса», утвержденному
 приказом Федеральной службы
 по экологическому, технологическому
 и атомному надзору
 от «10 » февраля 2023 г. № 51

ПОКАЗАТЕЛИ РИСКА АВАРИЙ

Оценка риска аварий для людей, обслуживающих ОПО МНГК, предполагает использование следующих показателей:

потенциальный территориальный риск (или потенциальный риск) – частота реализации поражающих факторов аварии в рассматриваемой точке на площадке ОПО и прилегающей территории; является комплексным показателем риска, характеризующим пространственное распределение опасности по объекту и близлежащей территории;

коллективный риск (или ожидаемые людские потери) – ожидаемое количество пораженных в результате возможных аварий за определенный период времени; является количественной интегральной мерой опасности объекта;

индивидуальный риск – ожидаемая частота (частота) поражения отдельного человека в результате воздействия исследуемых поражающих факторов аварии;

социальный риск (или риск поражения группы людей) – зависимость частоты возникновения сценариев аварий F , в которых пострадало на определенном уровне не менее N человек, от этого числа N . Характеризует социальную тяжесть последствий (катастрофичность) реализации совокупности сценариев аварии и представляется в виде соответствующей F/N -кривой;

ожидаемый ущерб – математическое ожидание величины ущерба от возможной аварии за определенный период времени;

технический риск – применяется при анализе опасностей, связанных с отказами технических устройств, систем обнаружения утечек, автоматизированных систем управления технологическим процессом, систем противоаварийной защиты; рекомендуется анализировать технический риск, показатели которого определяются соответствующими методами теории надежности технологических систем и функциональной безопасности систем ПАЗ, АСУТП.

Также рекомендуется проводить расчет максимально возможного числа потерпевших, которое определяется числом людей, оказавшихся в превалирующей зоне действия поражающих факторов (исходя из принципа «поглощения большей опасностью всех меньших опасностей»).

Результаты расчетов показателей риска могут быть представлены в виде таблицы № 1 и на рисунках 1 – 4 настоящего приложения.

Таблица № 1

Пример результатов оценки риска аварий на СПБУ

Показатель	Значение
Средний уровень коллективного риска на площадке СПБУ для обслуживающего персонала, чел./год:	
на стадии бурения	$3,6 \cdot 10^{-3}$
на стадии эксплуатации	$2,0 \cdot 10^{-4}$
Коллективный риск при бурении, чел./год:	
в зоне бурения	$3,2 \cdot 10^{-3}$
в зоне хранилищ	$2,6 \cdot 10^{-4}$
в ЖМ	$1,3 \cdot 10^{-4}$
Коллективный риск при эксплуатации, чел./год:	
в зоне бурения	$1,9 \cdot 10^{-4}$
в зоне хранилищ	$1,3 \cdot 10^{-5}$
в ЖМ	$7,5 \cdot 10^{-5}$

Показатель	Значение
Средний уровень индивидуального риска на площадке СПБУ для обслуживающего персонала, 1/год:	
на стадии бурения	$3,6 \cdot 10^{-5}$
на стадии эксплуатации	$3,7 \cdot 10^{-6}$
Индивидуальный риск при бурении, 1/год:	
в зоне бурения	$3,0 \cdot 10^{-5}$
в зоне хранилищ	$9,0 \cdot 10^{-5}$
в ЖМ	$1,5 \cdot 10^{-6}$
Индивидуальный риск при эксплуатации, 1/год:	
в зоне бурения	$1,5 \cdot 10^{-6}$
в зоне хранилищ	$4,8 \cdot 10^{-6}$
в ЖМ	$8,9 \cdot 10^{-8}$
Частота возникновения ситуаций с гибелью людей на СПБУ, 1/год:	
на стадии бурения	$2,0 \cdot 10^{-3}$
на стадии эксплуатации	$1,8 \cdot 10^{-4}$
Частота возникновения аварийных ситуаций, связанных с гибелью не менее 10 человек персонала, 1/год	$1,8 \cdot 10^{-5}$
МВКП, чел.	12

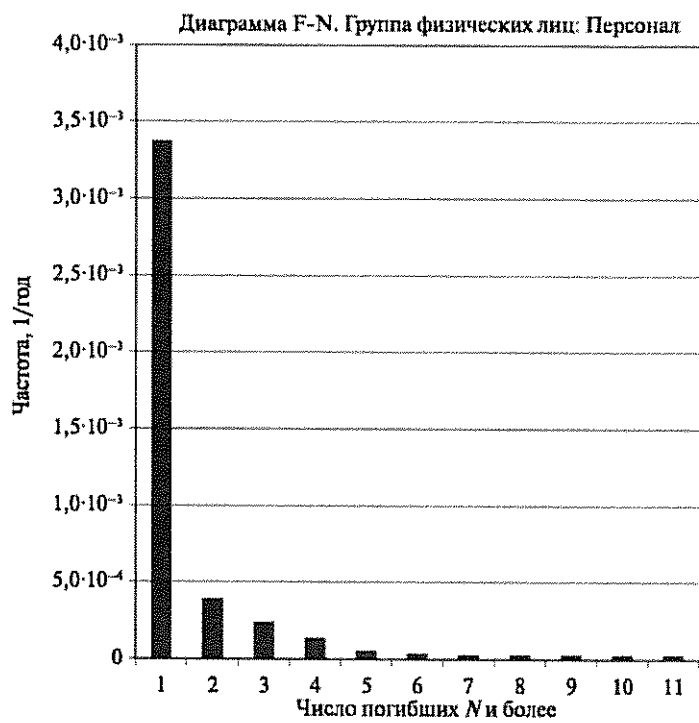


Рис. 1. Пример зависимости социального риска

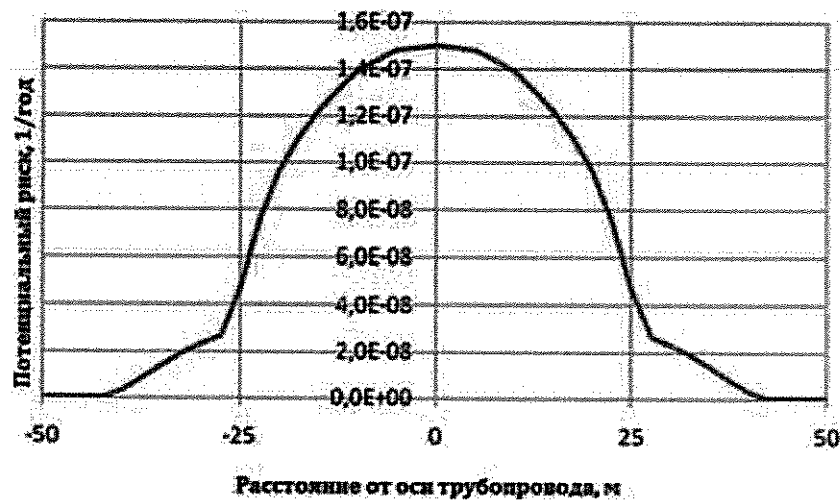


Рис. 2. Пример зависимости потенциального риска гибели людей при авариях от расстояния относительно оси трубопровода

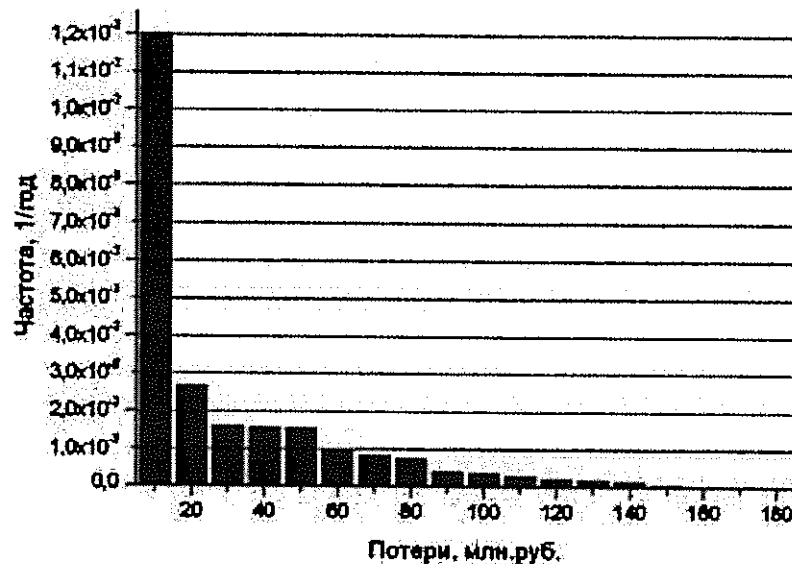


Рис. 3. Пример F/G-кривой для аварий на морском трубопроводе

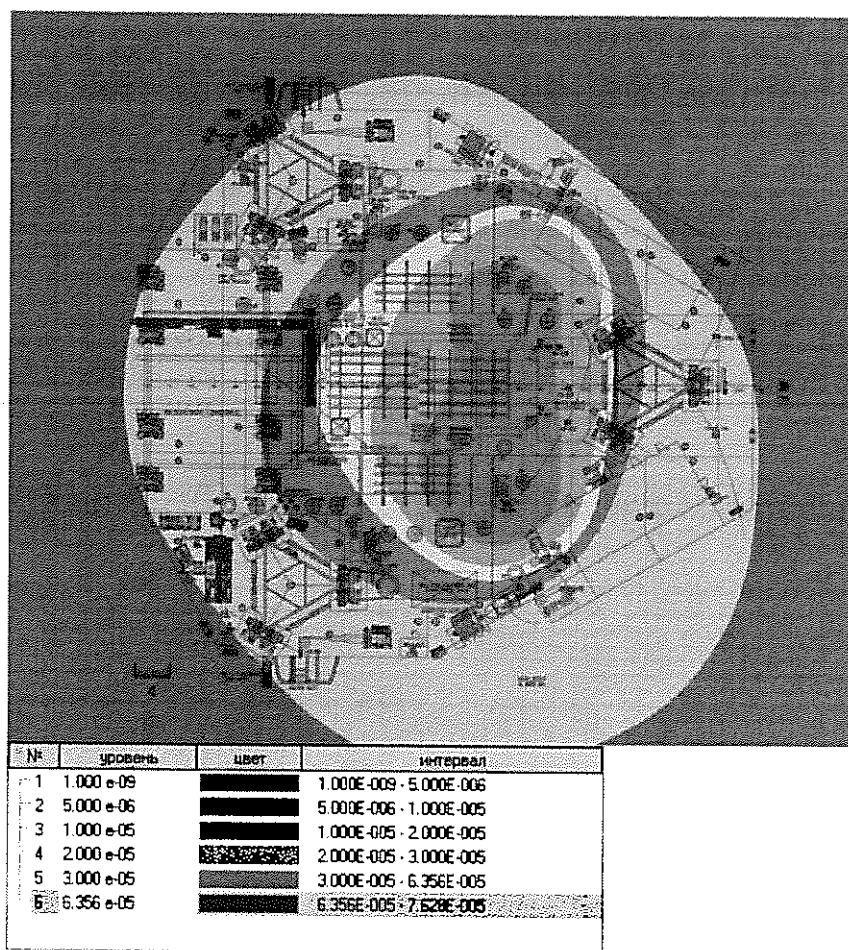


Рис. 4. Пример интегрального поля потенциального риска для человека на открытой площадке от возможных аварий на технологических элементах СПБУ

Приложение № 10
к Руководству по безопасности «Методика
анализа риска аварий на опасных
производственных объектах морского
нефтегазового комплекса», утвержденному
приказом Федеральной службы
по экологическому, технологическому
и атомному надзору
от «10» февраля 2023 г. № 51

МЕТОДИКА РАСЧЕТА ИНТЕНСИВНОСТИ ИСТЕЧЕНИЯ ПРИ ФОНТАНИРОВАНИИ СКВАЖИН

Методика расчета интенсивности истечения газа при фонтанировании скважин

Исходные данные:

λ – коэффициент гидравлического сопротивления, б/р;

g – ускорение свободного падения, м/с²;

ρ_n , T_n , P_n – плотность, температура, давление газа при нормальных условиях;

T_{cp} – средняя температура в скважине, К;

Z_{cp} – среднее значение коэффициента сжимаемости;

P_3 – давление в скважине напротив работающего интервала;

a , b – коэффициенты фильтрационного сопротивления;

P_{pl} – пластовое давление;

P_a – атмосферное давление (рассматривается открытый фонтан);

a – коэффициент линейного фильтрационного сопротивления скважины, кг·см²;

b – коэффициент квадратичного фильтрационного сопротивления скважины, кг·см².

Геометрия секции скважины:

l_i – длина секции, м;

$d_{nap\ i}$ – наружный диаметр кольцевого пространства, м;

$d_{\text{вн} i}$ – внутренний диаметр кольцевого пространства, м;

α_z – зенитный угол, град;

η – вязкость газа в пластовых условиях, сп.;

c – скорость звука, м/с;

K – проницаемость пласта в окрестности скважины, дарси;

m – пористость пласта в окрестности скважины, б/п;

$h_{\text{пл}}$ – эффективная толщина пласта, м;

$z_{\text{ср}}$ – среднее значение коэффициента сжимаемости.

Искомые параметры:

$G_1(t)$ – массовый расход из скважины, кг/с.

Модель установившегося истечения из скважины. Предполагается, что по скважине и пласту движется установившийся поток газа. Массовый расход через любое поперечное сечение скважины одинаков:

$$\rho \cdot Q = \text{const}, \quad (10-1)$$

где: Q – объемный расход через сечение;

ρ – средняя плотность газа в сечении.

Предполагается, что в пределах скважины канал, по которому движется газ, составлен из N -прямолинейных равнопроходных секций, каждая из которых имеет поперечное сечение кольцевой формы. Таким образом, геометрия канала определяется набором следующих параметров:

$$l_i, d_{\text{нар} i}, d_{\text{вн} i}, \alpha_z, i = 1, 2, 3, \dots, N, \quad (10-2)$$

где: l_i – длина секции;

$d_{\text{нар} i}$ – наружный диаметр кольцевого сечения;

$d_{\text{вн} i}$ – внутренний диаметр;

α_z – зенитный угол (угол между направлением оси секции и вертикалью).

В пределах секции справедливо уравнение количества движения:

$$\frac{d(\rho \cdot W^2)}{dl} + \frac{dP}{dl} = \frac{\lambda_i \rho \cdot W |W|}{2d_i} + \rho \cdot g \cdot \cos \alpha_{zi}, \quad (10-3)$$

где: d_i – гидравлический диаметр, вычисляемый по формуле (10-4):

$$d_i = d_{\text{нап } i} - d_{\text{ви } i}, \quad (10-4)$$

l – расстояние от устья (при фонтанировании скорость в формуле (10-3) отрицательна);

W – скорость газа, м/с;

P – давление газа, Па.

Предполагается, что в местах соединения секций давление изменяется непрерывным образом (потери, вызванные изменением поперечного сечения и направления потока, не учитываются).

Уравнение состояния газа записывается в обычном виде:

$$\rho = \rho_n \cdot \frac{T_n}{T} \cdot \frac{1}{Z} \cdot \frac{P}{P_n}, \quad (10-5)$$

где: ρ_n , T_n , P_n – плотность, температура, давление газа при нормальных условиях.

Потери давления в пласте при стационарной фильтрации описываются следующим уравнением:

$$P_3^2 = P_{\text{пл}}^2 - a \cdot Q_n - b \cdot Q_n^2, \quad (10-6)$$

где: P_3 – давление в скважине напротив работающего интервала;

a , b – коэффициенты фильтрационного сопротивления;

$P_{\text{пл}}$ – пластовое давление.

Уравнение (10-6) можно рассматривать как граничное условие для системы (формулы (10-1) – (10-3)). Условие на устье имеет вид:

$$W_y = C \text{ при } P_y > P_{\text{ат}};$$

$$P = P_{\text{ат}} \text{ при } W_y < C, \quad (10-7)$$

где: P_y , W_y , C – давление, скорость газа и скорость звука на устье;

P_a – атмосферное давление (рассматривается открытый фонтан).

Задача решается в предположении постоянства температуры и коэффициента сжимаемости:

$$Z = \text{const}, T = \text{const}. \quad (10-8)$$

Задача состоит в определении дебита фонтана при заданных параметрах пласта (пластовое давление, коэффициенты фильтрационного сопротивления), геометрии ствола и параметров уравнений состояния (10-1), (10-8). Рекомендуется использовать в качестве средних значений в формуле (10-8) среднеарифметические значения температуры и коэффициента сжимаемости для пластовых и устьевых условий. Решение проводится методом деления отрезка пополам. В качестве нижней границы корня принимается нулевое значение дебита. Верхняя граница определяется путем расчета забойного давления для нескольких последовательно возрастающих значений Q_n .

Настоящая модель залпового выброса из скважины предназначена для расчета залпового выброса, который возникнет при мгновенной разгерметизации устья закрытой скважины. Максимальный объем поступивших в атмосферу продуктов достигается в ситуации, при которой авария происходит на скважине, заполненной неподвижным газом (например, в процессе исследований скважины).

Предполагается, что скважина вертикальна и канал, по которому происходит выброс, имеет постоянное поперечное сечение. Нестационарное течение газа описывается системой уравнений, выражающих законы сохранения массы и количества движения:

$$\frac{\partial \rho}{\partial t} + \frac{\partial(\rho W)}{\partial t} = 0, \quad (10-9)$$

$$\rho \frac{dW}{dt} + \frac{\partial P}{\partial l} + g\rho \left[-1 + \frac{|W| \cdot W}{W_{gid}^2} \right] = 0, \quad (10-10)$$

$$W_{gid} = \sqrt{\frac{2gD_{gid}}{\lambda}}. \quad (10-11)$$

Уравнение состояния принимается в виде:

$$P = \rho \cdot z_{CP} \cdot R \cdot T_{CP}, \quad (10-12)$$

$$\frac{d}{dt} = \frac{\partial}{\partial t} + W \frac{\partial}{\partial l},$$

где: t – время;
 l – длина вдоль оси ствола;
 g – ускорение свободного падения;
 P, W, ρ – давление, скорость и плотность газа;
 λ – коэффициент гидравлического сопротивления (принимается постоянным).

В случае газоконденсатных смесей при получении уравнения состояния принимается модель гомогенного потока. Предположение о равенстве скоростей фаз позволяет определить зависимость плотности от давления и температуры по данным о контактной конденсации, которое можно аппроксимировать выражением, совпадающим по форме с уравнением состояния (10-12).

В начальный момент устье скважины закрыто, и распределение давления P_0 в неподвижном столбе газа описывается следующим уравнением:

$$-\frac{\partial P_0}{\partial l} + g\rho = 0. \quad (10-13)$$

На забое давление в скважине совпадает с пластовым давлением:

$$P_0(l_b) = P_{pl}, \quad (10-14)$$

где: l_b – координата кровли проявляющегося интервала;

P_{pl} – пластовое давление в местах расположения скважин.

Пусть в момент $t = 0$ происходит мгновенная разгерметизация устья.

Скорость в выходном сечении будет равна местной скорости звука, а текущий дебит вычисляется по следующей формуле:

$$Q_h = C_D \cdot W_s \cdot F_h \cdot \rho_h, \quad (10-15)$$

где: Q_h – дебит фонтана;

W_s – местная скорость звука;

F_h – площадь выходного сечения;

ρ_h – плотность флюида в выходном сечении;

C_D – коэффициент расхода, зависящий от формы выходного сечения.

Начиная с этого момента вниз по столбу газа будет передвигаться волна разрежения. Дойдя до забоя, волна, частично отразившись, перейдет в пласт, где сформируется возрастающая во времени депрессионная воронка. Для расчета выброса применяется метод смены стационарных состояний, в соответствии с которым область течения разделяется на два участка. На нижнем участке находится покоящийся столб газа, а на верхнем движется стационарный поток.

Таким образом, в приустьевой части ствола выполняются уравнения:

$$\rho F W = Q_h(t) = \text{const}, \quad (10-16)$$

$$-\frac{dP}{dl} - \frac{d(\rho W^2)}{dl} + g \rho \left[1 + \left(\frac{W}{W_{gid}} \right)^2 \right] = 0. \quad (10-17)$$

На подвижной границе выполняется условие:

$$P(l_f, t) = P_0(l_f), \quad (10-18)$$

где l_f – текущее положение фронта.

Зная распределение давления по стволу, можно определить массу газа, находящегося в момент t в скважине. Из сказанного следует, что масса полностью определяется положением фронта: $M(t) = M(l_f)$. Из условия материального баланса, примененного ко всему стволу, следует уравнение перемещения фронта:

$$M' \cdot \frac{dl_f}{dt} = Q_h. \quad (10-19)$$

После того как волна достигла забоя, приходит в движение флюид в пласте. Предполагая течение симметричным относительно оси скважины, обозначим через R_f радиус границы (радиус депрессионной воронки), отделяющей область неподвижного флюида от прискважинной области, в которой поток стационарен и его дебит равен мгновенному дебиту фонтана. Для вычисления R_f используется уравнение, аналогичное (10-19), в котором под M понимается масса газа в стволе и круговой области пласта, радиус которой R_o выбран так, что на рассматриваемом интервале времени $R_f < R_o$. Чтобы определить $M(R_f)$, рассматривается задача о стационарном течении в системе «скважина-пласт», удовлетворяющем условию на устье (10-15) и условию на подвижном контуре:

$$P(R_f, t) = P_{\text{пл}}. \quad (11-20)$$

Кроме того, выполняются условие сопряжения (непрерывное изменение давления) и условие массового расхода при переходе от пласта к скважине.

Методика расчета интенсивности истечения жидкости при фонтанировании скважин

Скважина представляется как совокупность цилиндрических каналов переменного диаметра, состыкованных последовательно торец к торцу. Скважина может иметь произвольный угол наклона к вертикали на различных своих участках.

Рассматривается случай стационарного истечения. Движение флюида в такой скважине описывается уравнением сохранения импульса в предположении изотермичности потока:

$$\frac{d(\rho \cdot U^2)}{dx} + \frac{dP}{dx} = -\frac{\lambda \rho \cdot U |U|}{2d(x)} + \rho \cdot g \cdot \cos(\alpha(x)), \quad (11-21)$$

где: ρ – плотность флюида;

U – скорость флюида;

x – расстояние от конечной точки скважины;

P – давление по длине скважины;

α – угол отклонения скважины от горизонтали;

λ – коэффициент трения;

$d(x)$ – внутренний диаметр канала.

Границными условиями для данного уравнения служат давления в пласте и в ОС (1 атм.).

Уравнение движения флюида замыкается двумя соотношениями:

уравнением состояния;

соотношением для определения трения.

Приложение № 11
 к Руководству по безопасности «Методика
 анализа риска аварий на опасных
 производственных объектах морского
 нефтегазового комплекса», утвержденному
 приказом Федеральной службы
 по экологическому, технологическому
 и атомному надзору
 от «10» февраля 2023 г. № 57

Таблица № 1

**НОРМАТИВНЫЕ ПРАВОВЫЕ АКТЫ ДЛЯ ОЦЕНКИ ВОЗМОЖНЫХ
ПОСЛЕДСТВИЙ АВАРИЙ**

Назначение	Документ
1. Расчет концентрационных полей при рассеивании и дрейфе облаков ТВС в поле ветра, расчет размеров зон поражения при пожаре-вспышке (сгорании) дрейфующего облака ТВС, определение массы опасного вещества во взрывоопасных пределах	<p>Федеральные нормы и правила в области промышленной безопасности «Общие правила взрывобезопасности для взрывопожароопасных химических, нефтехимических и нефтеперерабатывающих производств», утвержденные приказом Ростехнадзора от 15 декабря 2020 г. № 533, зарегистрированным в Минюсте России 25 декабря 2020 г., регистрационный № 61808.</p> <p>Руководство по безопасности «Методика оценки риска аварий на опасных производственных объектах нефтегазоперерабатывающей, нефте- и газохимической промышленности», утверждено приказом Ростехнадзора от 28 ноября 2022 г. № 414.</p> <p>Руководство по безопасности «Методика моделирования распространения аварийных выбросов опасных веществ», утверждено приказом Ростехнадзора от 2 ноября 2022 г. № 385.</p>
2. Расчет параметров ударной волны, зон поражения и разрушения при воспламенении и взрыве облаков ТВС	<p>Федеральные нормы и правила в области промышленной безопасности «Общие правила взрывобезопасности для взрывопожароопасных химических, нефтехимических и нефтеперерабатывающих производств», утвержденные приказом Ростехнадзора от 15 декабря 2020 г. № 533, зарегистрированным в Минюсте России 25 декабря 2020 г., регистрационный № 61808.</p>

Назначение	Документ
	Руководство по безопасности «Методика оценки последствий аварийных взрывов топливно-воздушных смесей», утверждено приказом Ростехнадзора от 28 ноября 2022 г. № 412.
3. Определение параметров воздействия и зон поражения при пожаре пролива, огненном шаре, факельном горении	Руководство по безопасности «Методика определения расчетных величин пожарного риска на производственных объектах», утверждено ведомственным приказом МЧС России.
4. Расчет параметров воздействия и зон поражения при пожаре в помещениях и сооружениях	
5. Расчет параметров воздействия и зон поражения продуктами горения	